

٤٢ ✓
دراسة مختبريه لتوزيع درجات الحرارة في إناء
كروي وأسطواني ومستطيلي المقطع

إعداد :

أنس محمد احمد

عبد الحليم محمد إبراهيم

مأمون عبد القيوم عبد الكريم

مشروع تخرج كمطلوب تكميلي لنيل درجة الدبلوم في
الهندسة الميكانيكية
كلية الهندسة والتقنية
جامعة وأدى النيل

مايو 2003م

٤٢ ✓
دراسة مختبريه لتوزيع درجات الحرارة في إناء
كروي وأسطواني ومستطيلي المقطع

إعداد :

أنس محمد احمد

عبد الحليم محمد إبراهيم

مأمون عبد القيوم عبد الكريم

مشروع تخرج كمطلوب تكميلي لنيل درجة الدبلوم في
الهندسة الميكانيكية
كلية الهندسة والتقنية
جامعة وأدى النيل

مايو 2003م

بِسْمِ اللَّهِ الرَّحْمَنِ الرَّحِيمِ

الافتتاحية

قال تعالى (اللَّهُ لَا إِلَهَ إِلَّا هُوَ الْحَيُّ الْقَيُّومُ لَا تَأْخُذُهُ سِنَّةٌ وَلَا نَوْمٌ لَهُ مَا فِي السَّمَاوَاتِ وَمَا فِي الْأَرْضِ مَنْ ذَا الَّذِي يَشْفَعُ عِنْدَهُ إِلَّا بِإِذْنِهِ يَعْلَمُ مَا بَيْنَ أَيْدِيهِمْ وَمَا خَلْفَهُمْ وَلَا يُحِيطُونَ بِشَيْءٍ مِنْ عِلْمِهِ إِلَّا بِمَا شَاءَ وَسِعَ كُرْسِيُّهُ السَّمَاوَاتِ وَالْأَرْضَ وَلَا يَئُودُهُ حِفْظُهُمَا وَهُوَ الْعَلِيُّ الْعَظِيمُ) (البقرة: ٢٥٥)

الإهداء

إلى منبج العزة والكرامة ...
وطني العزيز

إلى نور حياتنا، إصول بنياننا .. والقيس الذي لولاه ما كنا، بهم نفتخر
والدينا ... اخوتنا

إلى جيلنا الناشئ الذي يعشق التقدم والارتقاء ..

إلى نبراس ساحتنا، وسماة كليتنا، بهم اقتدينا، ومنهم التمسنا دفة العلم،
وحرارة الشوق للعمل، فعلمنا قيمته الفعلية ...
الإساذة الإجلال ..

إلى النسور التي تعشق الفرحان، التي كانت معرفتهم الكثر الحقيقي لنا،
عكسوا لنا أصالة نشأتهم وحلاوة الربوع في بلدنا الحبيب . رفقاء الدرب ...
الأخوة الزملاء

شكر وعرفان

الشكر اولاً واخيراً لله سبحانه وتعالى الذي وفقنا لإكمال هذا المشروع .

ومن واجب واجباتنا أن نخص بالشكر والتقدير

الأستاذ الفاضل /

أسامه محمد المرصي

المشرف على هذا العمل والذي لم يخل علينا بوقته النفيس وعلمه الغزير ،،،،

والشكر نرجيه لأساتذة قسم الفيزياء - كلية التربية الذين ساهموا معنا أيضاً

بتوجيهاتهم .

الفهرس

الصفحة	الموضوع :
II	الافتتاحية :
III	الإهداء :
V	شكر وعرهان :
VI	فهرس المحتويات
الفصل الأول	
2	المقدمة
الفصل الثاني - طرق انتقال الحرارة	
5	انتقال الحرارة بالتوصيل
12	انتقال الحرارة بالحمل
13	انتقال الحرارة بالإشعاع
الفصل الثالث - التحليل النظري لانتقال الحرارة خلال جدار مستوى واسطوانة وكرة	
15	انتقال الحرارة خلال جدار مستو
18	انتقال الحرارة خلال اسطوانة
20	انتقال الحرارة خلال كرة
22	معادلات توزيع درجات الحرارة وانتقالها في التوصيل أحادي البعد
الفصل الرابع - التصميم والتصنيع	
27	التصميم
29	التصنيع
الفصل الخامس - الاختبارات والنتائج	
31	مقدمة عن السخان والثيرمومتر
32	الاختبارات والنتائج والمقارنة
الفصل السادس - الخاتمة والتوصيات	
36	الخاتمة
37	التوصيات
38	المراجع
الملاحق	
40	ملحق - A
43	ملحق - B
56	ملحق - C

المخلص

هذا المشروع يشمل عمل تجارب معملية لدراسة توزيع درجات الحرارة على إناء أسطواني ، كروى ومستطيلي المقطع . يتناول الفصل الأول مقدمة عامة عن انتقال الحرارة ، ويتناول الفصل الثاني الطرق التي تتم بها عملية انتقال الحرارة عموماً ، أما الفصل الثالث فيتناول الطريقة النظرية لانتقال الحرارة عبر أسطوانة ، كرة جوفاء وجدار مستو ، ايضاً يتناول ، الفصل الرابع طريقة تصميم وتصنيع الأواني التي تمت عليها إجراء التجارب ، أما الفصل الخامس فهو تناول التجارب التي أجريت والنتائج المتحصل عليها وهي عبارة عن قرأت لدرجات الحرارة بالنسبة لطول ممر سريان الحرارة والتي تم تحويلها لمنحنيات بيانيه لتوضح سلوك سريان الحرارة خلال اسطوانة ، كره ومستطيل .

بينما الفصل الأخير لهذه الدراسة يتضمن الخاتمة والتوصيات المستقبلية لهذا النوع من الدراسة

الفصل الأول

الفصل الأول

1.0 مقدمة

1.1 مقدمة عامة

الحرارة هي طاقة في حالة عبور ناشئة من الفرق في درجات الحرارة وانتقال الحرارة هو القطاع الهندسي الذي يتعاون مع الآليات المسؤولة عن انتقال الطاقة من مكان لآخر عند وجود فرق في درجات الحرارة .

عند دراسة الديناميكا الحرارية نهتم بحفظ الطاقة واتجاه مسارها وتستغرق دراسة حالات الاتزان الجزء الأكبر من وقت الدراسة أما في حالة دراسة انتقال الحرارة فتعرض لكل من عمليات الاتزان ويسمح لنا علم انتقال الحرارة في تحديد معدل انتقال الطاقة الناشي من عدم الاتزان في درجات الحرارة . علم انتقال الحرارة ينشد إمدادنا بإجابات . للأسئلة التالية :-

1- هل تستطيع الحرارة أن تسلم لمنظومة أو تزال منها بمعدلات مطلوبة دون الحاجة لاستخدام فروق درجات حرارة مفرطة ؟ .

2- ما هي المدة التي تستغرقها عملية انتقال الطاقة الحرارية ؟

3- ما مقدار الطاقة الحرارية المنقولة ؟ .

4- ما هي مساحة السطح الضرورية لانتقال الحرارة ؟

5- ما شكل توزيع درجات الحرارة داخل المنظوم ؟

1-2 مقدمة عن انتقال الحرارة :-

يؤثر علم انتقال الحرارة تأثيراً كبيراً علي كل مشاكل الطاقة ، ويعطي مجالاً يتراوح بين الحمل الروتيني لتدفئة أو تبريد المباني إلى المشاكل المعقدة المرتبطة بتوليد القدرة النووية وفي حالة التحكم المناخي لمبني يجب عمل موازنات حرارية تساوي ما بين الحرارة المضافة (الإضاءة ، المحركات الكهربائية ، والطاقة الشمسية الداخلة من النوافذ)

يتم الاهتمام بانتقال الحرارة في كثير من المجالات الهندسية أما المهندس الميكانيكي يهتم بمعدلات انتقال الحرارة عند التسخين للمباني وتطوير المنشآت العديدة لتحديد القدرة ، وتحسين الكفاءة للدورات التيرموديناميكية .

إن علم انتقال الحرارة له تطبيقات واسعة في التكنولوجيا وليس محددًا بالنظر إلى مساحة أو مساحتين معزولتين وانتقال الحرارة عبر حدود النظام منه أو إليه حتى الآن لم تحدد له ميكانيكية معينة والتعريف المعطى ببساطة وضح أن الحرارة عبارة عن طاقة تنتقل من جسم لآخر من الأعلى درجة حرارة للأقل درجة باعتبار الفرق في درجات الحرارة للجسمين وباعتبار ميكانيكية نقل الحرارة ووجود فرق بسيط هو ضروري للمقارنة بين الأجسام من أساسيات الديناميكا الحرارية.

لكن حالياً يصبح التعريف صعباً لتحديد نظام لانتقال الحرارة ولشرح هذه النقطة . خذ قطعة من الحديد

سخنت من طرف وبردت من الآخر ومصدر الحرارة ربما يوضع حول الأطراف ولكن الأطراف تختلف حسب الطول أو البعد ، والأطراف توضع لحبس الحرارة ليكون النظام مغلق . وفي حالة الحاجة لاستخدام قوانين الديناميكا الحرارية في هذا النظام لايد من وضع درجة حرارة معقولة ولكن هنالك مشاكل كثيرة بحيث أدخلنا كمية معينة من الحرارة (معقولة)تعتبر الحد المناسب ويمكن أن تكون ثابتة أو متغيرة وتعتمد على حالة الطقس أما أن تكون متشابهة أو تتغير متقلبة مع الزمن ولكن اغلب المشاكل في نقل الحرارة الثابتة أو الذي تنتقل فيه الحرارة بسرعة معلومة أو محدودة بينما هنالك حالات متعددة ولايد من اعتبارها .

1.3 الهدف من المشروع :-

يهدف هذا المشروع لدراسة سلوك توزيع درجات الحرارة في مقاطع هندسية مختلفة كلاسطوانه والمقطع المستطيلي والمقطع الكروي وذلك بتصنيع أوعيه ذات مقاطع مستطيلة وأسطوانية وكرويه وإجراء الاختبارات عليها لتحديد الشكل الهندسي المناسب للتوزيع الأفضل لدرجات الحرارة .

الفصل الثاني

طرق انتقال الحرارة

الفصل الثاني

2-0 طرق انتقال الحرارة

عموماً هنالك ثلاثة طرق مختلفة لانتقال الحرارة وهي :

1- بالتوصيل By conduction

2- بالحمل By convection

3- بالإشعاع By radiation

وهنا نأخذ بالتفصيل كل حالة من حالات انتقال الحرارة على حدي:-

2-1 انتقال الحرارة بالتوصيل : - (قانون فورير للتوصيل)

وهي تعني نقل الحرارة من جسم لآخر أو من مادة إلى أخرى مختلفة فيزيائياً توصل معها مباشرة .
ترجع النشأة المبكرة للتوصيل الحراري للعالم الرياضي الفرنسي فورير الذي اعتبر أول من اقترح القانون المعروف حالياً (بقانون فورير للتوصيل الحراري) . وهو تعميم لمعلومات تجريبية .
انه يثبتنا بكيفية توصيل الحرارة خلال وسيط من مجال ذي درجة حرارة عالية إلى مجال ذي درجة حرارة منخفضة .

اعتبر فرنأ ساخناً بالداخل وبارداً في الخارج ومعدل انتقال الحرارة Q من داخل الفرن إلى خارجه تتناسب طردياً مع مساحة السطح للجدار A المتعامدة على اتجاه سريان الحرارة ،
وتتناسب طردياً مع فرق درجات الحرارة عبر الجدار $[t_{in} - t_{out}]$ وتتناسب عكسياً مع ثخانة الجدار (x)

$$Q \propto \frac{A(t_{in} - t_{out})}{x}$$

أو

$$Q = \frac{K A (t_{in} - t_{out})}{x} \quad (2-1)$$

حيث أن قانون فورير هو عملية تكامل للمقدار

$$Q \propto A dt/dx$$

$$Q = -K A dt/dx$$

$$\int_0^x Q dx = \int_{out}^{in} -kadt$$

$$\int_0^x Q dx = -A \int_{out}^{in} kadt$$

$$\dot{Q}_x = -KA \int_{t_{out}}^{t_{in}} dt$$

$$Q = -KA \frac{(t_{in} - t_{out})}{x}$$

وهذه المعادلة يمكن حلها بمعلومية الثابت والفرق في درجات الحرارة ولكن في كل الأجسام المصمته معامل التوصيلية الحرارية K ثابت تقريباً في مدى واسع من درجات الحرارة ولهذا نأخذها كثابت .
وحدات المعادلة السابقة هي :-

$Q \equiv$ معدل كمية الحرارة ووحدتها تساوي w (واط).

$A \equiv$ مساحة السطح ووحدتها تساوي m^2 (متر مربع)

$\frac{dt}{dx} \equiv$ (كلفن / متر)

$k \equiv$ معامل التوصيلية الحرارية ووحدتها تساوي $W/m.k$ (واط / متر . كلفن)

معامل التوصيلية الحرارية (K) :-

معامل التوصيلية الحرارية لمعظم المواد تم قياسه عن طريق التجربة ووضع في جدول هندسي معروف وفيما يلي مثال لبعض المواد ومعامل التوصيلية الحرارية لها :

المادة	معامل التوصيلية (بالـ w / mk)
Pure copper	386
Pure Aluminium	229
Duraluminium	164
Cast iron	52
Mild steel	48.5
Building brick	0.35 - 0.7
Lead	34.6
Concrete	0.85 - 1.4
Wood	0.15 - 0.2
Rubber	0.15

ومن هذا نخلص إلى أن المواد التي لها معامل توصيلية عالي هي المواد ذات التوصيل الجيد والتي لها معامل توصيلية حرارية منخفض جيدة لعزل الحرارة . وتوصيل الحرارة يحدث في المواد الخالصة أكثر منه في المواد المخلوطة و أقل في المواد الغير حديدية ومعامل التوصيلية أقل في المواد العازلة (العوازل) المعلومة ذلك لوجود الهواء المتخلل بين جزيئاتها وذلك مثل الفلين والغازات والسوائل كلها عوازل جيدة مالم توجد طبقة (سائل - غاز) . يكون الانتقال بالتوصيل.

قانون نيوتن للتبريد :-

لكي نصل إلى النسبة التي يتم فيها نقل الحرارة من سائل إلى آخر عبر حائط من الضروري معرفة شيء عن الطريقة التي بها تنقل الحرارة من جسم صلب إلى سائل وبالعكس وقانون نيوتن بالنسبة لحالة التبريد ينص على أن الحرارة تنتقل من سطح صلب بمساحة سطح A بدرجة حرارة t_w إلى سائل عند درجة حرارة t . معطي بالمعادلة :

$$Q = ha (t_w - t) \longrightarrow (2-2)$$

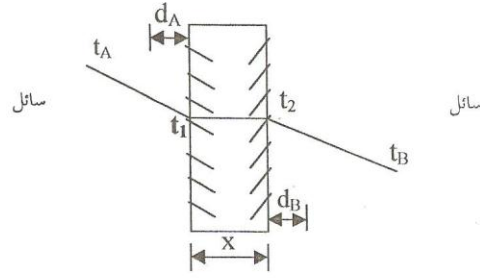
حيث أن :

h ≡ معامل إنتقال الحرارة ووحداتها W/m^2

t_w ≡ درجة حرارة السطح .

t ≡ درجة حرارة البيئة المحيطة

ومعامل نقل الحرارة يعتمد على خواص السائل وسرعته وعادة من الضروري تقييمها بالتجربة والمعادلة السابقة لا تتضمن الحرارة المفقودة من السطح بواسطة الإشعاع وهذا الأثر يمكن حسابه منفصلاً وفي حالات كثيرة يمكن نسيانه مقارنة بالحرارة المنقولة بواسطة التوصيل أو التأثير من سطح السائل وعندما تكون درجة حرارة السطح عالية أو عندما توجد حرارة مفقودة بواسطة التأثير الطبيعي تصبح الحرارة المنقولة بفعل الإشعاع مشابهة لدرجة الحرارة المفقودة بواسطة التأثير .



التغيير في درجة الحرارة مثال من السائل (A) . درجة الحرارة تنزل سريعاً من t_a إلى t_1 من جسم السائل ونفس الشيء حيث تنزل درجة الحرارة من t_2 إلى t_b في الحائط.

عملياً في معظم الحالات درجة حرارة السائل تقريباً ثابتة في جميع الأجزاء ، وجزء من الطبقة الرقيقة التي من الجسم الصلب حول السائل .

الخطوط المنقطعة تعني سمك الطبقة الرقيقة التي في السائل (δa ، δb) . وفي هذه الطبقة الرقيقة كما ذكرنا يكون إنتقال الحرارة بالتوصيل فقط .

من السائل A إلى الحائط

$$q = \frac{KA}{\delta A} (t_A - t_1) \longrightarrow (a)$$

من الحائط إلى السائل B

$$q = \frac{K_B}{\delta B} (t_2 - t_B) \longrightarrow (b)$$

إذا ومن المعادلة (2-2) :

$$q = hA(t_A - t_1) \longrightarrow (c)$$

(وهي من السائل A إلى الحائط)

$$q = hB(t_2 - t_B) \longrightarrow (d)$$

(وهي من الحائط إلى السائل B)

نقارن بين المعادلتين (a)، (c) وبين المعادلتين (b)، (d).

$$hA = \frac{KA}{\delta a}$$

$$hB = \frac{K_B}{\delta b}$$

وعموماً

$$h = K/\delta$$

ولوحدة مساحة من السطح نأخذ :-

$$q = \frac{K(t_1 - t_2)}{x}$$

ولحالة نقل الحرارة المنتظم فإن الحرارة المناسبة من السائل A إلى الحائط تساوي الحرارة المناسبة خلال الحائط وهي أيضاً تساوي الحرارة المنقولة من الحائط إلى السائل B وإذا لم يحدث ذلك فإن درجات الحرارة (t_B, t_2, t_1, t_A) لن تبقى ثابتة بل تتغير مع الزمن ولذلك

$$q = hA(t_A - t_1) = \frac{K(t_1 - t_2)}{x} = hB(t_2 - t_B)$$

وإذا غيرنا وضع المعادلات :

$$(t_A - t_1) = q/h_A$$

$$(t_1 - t_2) = q/k$$

$$(t_2 - t_B) = q/h_B$$

ويجمع المعادلات:

$$(t_A - t_1) + (t_2 - t_1) + (t_2 - t_B) = \frac{q}{h_A} + \frac{q_x}{K} + \frac{1}{h_B}$$

$$(t_A - t_B) = q \left[\frac{1}{h_A} + \frac{x}{K} + \frac{1}{h_B} \right]$$

$$q = \frac{(t_A - t_B)}{\left[\frac{1}{h_A} + \frac{x}{K} + \frac{1}{h_B} \right]} \longrightarrow (2-3)$$

وبمقارنة المعادلة (2-3) مع المعادلة (2-2)

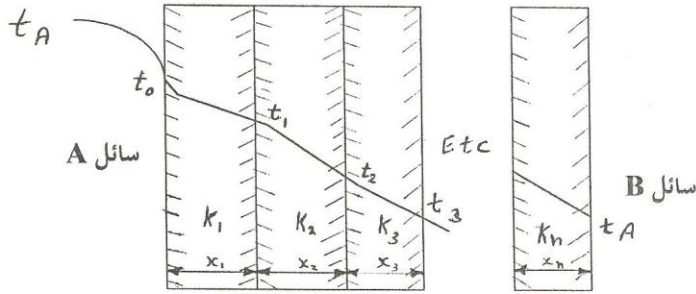
$$q = u(t_A - t_B)$$

$$Q = u_A(t_A - t_B)$$

$$\frac{1}{U} = \left[\frac{1}{h_A} + \frac{x}{K} + \frac{1}{h_B} \right] \longrightarrow (2-4)$$

التماثل الكهربائي خلال الحوائط :-

في حالات كثيرة عملياً عند تكوين مواد مختلفة بطبقات لعمل حائط مركب مثال لذلك حائط مبني وهو عادة ما يكون من طبقة بلاستر (طوب) وفراغ هوائي والصف الثاني للطوب لإحتمال أن يكون محاط بأسمنت .



توجد عدد N طبقات ذات سمك مختلف في جانب من الحائط يوجد سائل A ذو درجة حرارة T_A ومعامل نقل الحرارة هو h_A وفي الجانب الآخر يوجد سائل B ذو معامل نقل حرارة h_B . أجعل درجة الحرارة الملاصقة للسائل A هي T_A ودرجة الحرارة الملاصقة للسائل B هي T_B ودرجة الحرارة المتداخلة هي T_1, T_2 حسب ما هو موضح .

الطرق المستخدمة لحل هذه المسألة هو القياس الكهربائي وإنسياب الحرارة يمكن إعتباره مثل سريان التيار الكهربائي و إنتقال الحرارة يتم بإختلاف درجات الحرارة من الأعلى إلي المنخفض أما التيار فينساب بفرق الجهد.

$$V=IR$$

وبمقارنة هذه المعادلة مع المعادلة (2-1)

$$Q = \frac{kA(T_1-T_2)}{X}$$

$$R = \frac{x}{KA} \longrightarrow (2-5)$$

R وهي تمثل المقاومة الحرارية ووحدتها k/w
وما قمنا بعمله هو مماثلة I مع Q ووضع (T₁-T₂) بدلا عن V
بالنسبة للطبقة الرقيقة من السائل الموجودة حول الجدار ومن المعادلة (2-2) نجد أن المقاومة الحرارية (معادلة المقاومة الحرارية للطبقة الرقيقة).

$$Q = hA(T_w - T)$$

$$R = 1/h_A \longrightarrow (2-6)$$

$$R_A = 1/(h_A * A) , R_1 = X_1/(k_1 * A) , R_2 = X_2/(k_2 * A)$$

$$R_n = X_n/(K_n * A) , R_B = 1/(h_B * A)$$

ومجموع مقاومات الحرارة أو مقاومة إنسياب الحرارة هو :

$$\frac{1}{h_A} + \frac{X_1}{k_1 A} + \frac{X_2}{k_2 A} + \text{ect.} , \frac{X_n}{k_n A} + \frac{1}{h_B * A}$$

$$R_T = \frac{1}{H_A * A} + \int \frac{x}{k_A} + \frac{1}{h_B * A} \longrightarrow (2-7)$$

يمكننا أن نري من خلال المعادلة (2-7) وذلك في مثل هذه الحالة فإن مساحة السطح (سطح الإنتقال خلال الجدار) (A) تبقى ثابتة خلال الجدار وغالبا ما تحسب مقاومة إنتقال الحرارة لوحددة مساحة من السطح في معظم السائل .

عند إستخدام التماثل الكهربائي في كل إنتقال الحرارة نجد أن :-

$$Q = \frac{t_A - t_B}{R_T} \longrightarrow (2-8)$$

وبمماثلة هذه المعادلة مع

$$I = V/R$$

$$\frac{I}{V} = \frac{I}{h_A} + \frac{x}{k} + \frac{I}{h_B}$$

ولأبي عدد من الحوائط نأخذ

$$\frac{I}{u} = \frac{I}{h_A} + \left\{ \frac{x}{k} + \frac{I}{h_B} \right.$$

$$\frac{I}{u} = R_T * A \quad \text{or} \quad u = \frac{I}{R_T * A} \quad \longrightarrow \quad (2-9)$$

إذا كان داخل وخارج سطح الحائط (درجة حرارة السطح) معروفة بعد ذلك يمكن حساب وإيجاد إنتقال الحرارة عن طريق حساب المقاومة الحرارية للحائط المركب فقط .

$$R = \sum x/k_A$$

ومعامل انتقال الحرارة العام من سطح الحائط للآخر ومن جزء لآخر يعطي بالمعادلة :

$$1/u = \sum x/k$$

إتجاه سريان الحرارة بالتوصيل :-

يمكن أخذ سطح إختباري توضيحي كما في الشكل ادناه لتحديد سريان الحرارة (إتجاه سريان

كمية من الحرارة عبر سطح) بإعتبار أن مساحته d_A

نعتبر أن سريان الحرارة dQ_m من مساحة سطح أيسوثيرمالية d_A في إتجاه إختباري m

$$dQ_m = q_m \cdot dA$$

$$dQ_m = q_n \cos \theta \cdot dA$$

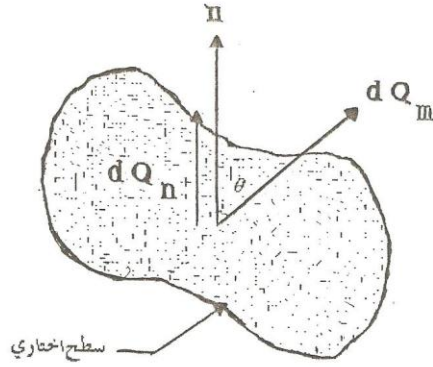
$$dQ_m = dQ_n \cos \theta \quad \longrightarrow \quad (2-10)$$

حيث أن :

$n \equiv$ الإتجاه المتعامد علي المساحة (dA)

$dQ_m \equiv$ معدل سريان الحرارة في إتجاه إختباري (m) خلال المساحة (dA)

$dQ_n \equiv$ معدل سريان الحرارة في الإتجاه العادي (n)



2.2 إنتقال الحرارة بالحمل :- By convection

يعتبر إنتقال الحرارة بالحمل أكثر تعقيدا من التوصيل الحراري وبالتالي فإن الحلول التحليلية غالباً ما تكون مستحيلة . هذه الصعوبة نشأت من حقيقة أن الكيفية الأساسية للحمل تضم كل من التوصيل وحركة المائع . ويحدث الحمل عندما يتواجد سطح متلامس مع مائع ذي درجة حرارة تختلف عن درجة حرارته .

إذا افترضنا جداراً رأسياً ساخناً يتلامس مع مائع "بالتوصيل" والمائع بارد ، فأننا نلاحظ أن المائع المتلامس للجدار يسخن بالتوصيل مع مرور الزمن ، مسبباً إنخفاضاً في كثافته وهنا تنشأ قوة طفو بسبب الفرق في الكثافة "كثافة المائع" تعمل على رفع المائع الأخف إلى أعلى ، وإحلال مائع بارد مكانه وتكرر هذه العملية باستمرار . وحيث أن حركة المائع تنشأ بقوه طبيعية ، فإن هذا النوع من الحمل يسمى حملاً طبيعياً أو حملاً حرّاً . وهناك أنواع أو أمثله أخرى للحمل الطبيعي كذلك التي تنشأ من أسلوب رفع الهواء الساخن في المدفئة المنزلية (المشعة) وكذلك إنسياب دخان السجائر لأعلى في غرفة ذات هواء ساكن .

وهناك نوع آخر من أنواع الحمل يسمى حملاً إجبارياً ومثال له إذا تم تسخين قطعة من الحديد وتركت في الجو العادي وتم عمل دراسة لتأثيرها على الجو المحيط ووجد أنه كلما إقتربنا من القطعة المسخنة كلما إرتفعت درجة الحرارة وفي مثال آخر المروحة الطاردة التي تطرد الهواء إلى جسم العضو الكهربائي ومن هذا نخلص إلى أن إنتقال الحرارة بالحمل يتم في صورة بسيطة يمكن تجاهله مقارنة بإنتقال الحرارة بالتأثير حيث توجد دائماً طبقة رقيقة من السائل أو الغاز حول القطعة المسخنة تنتقل فيها الحرارة بالتوصيل أما الباقي فتنقل فيه الحرارة بالتأثير .

2.3 إنتقال الحرارة بالإشعاع :- By Radiation

أي جسم يلفظ الحرارة نهائياً أو جزئياً في شكل إشعاع كهرومغناطيسي مالم تكون درجته " درجة حرارته " صفر، ووجد أنه كلما كانت لدينا درجة حرارة عالية كلما كان هناك طاقة إشعاعية أكبر .
إذا كان لدينا جسمين مختلفين في درجة الحرارة وضعا قريبين من بعضهما فإن الإثنين يشعان الحرارة معاً ولكن للحرارة تأثيرها في هذه النقطة بحيث أن الجسم الأقل درجة حرارة يستقبل الحرارة من الأعلى درجة ولهذا تزيد الطاقة الداخلية له، وفي نفس الوقت نقل الطاقة الداخلية للأعلى درجة ، إذاً هناك مشكلة لإنتقال الحرارة من جسم له درجة عالية إلى جسم له درجة أقل باختلاف في درجة الحرارة بينهما وهنا يمكن القول أن الحرارة تنتقل بالإشعاع وإن إنتقال الحرارة وإنتشار الطاقة الإشعاعية لا يحتاج إلى وسيط فهو كالموجات الكهرومغناطيسية لمنطقة مفرغة من الهواء وهو الأكثر إستعمالاً لإنتقال الطاقة بحيث تكون معلومة تنشر أو تمتص الإشعاع في شكل موجات طولية معلومة ولكن الأجسام الصلبة تشع أو تنشر الطاقة في مساحات كبيرة .

وبخصوص الأمثلة العملية فإن الحرارة تنتقل بالحمل ، بالتوصيل ، وبالإشعاع ويمكن أن نجرب كل طريقة علي حدا ثم تجمع النتائج ولكن هنالك طرق ووسائل كثيرة في نقل الحرارة مثلاً نقل الحرارة من وإلى السائل ومثال لذلك " الغلاية - المكثف- المبادل الحراري " ، وحمية فقدان الحرارة من السائل لما حوله .

الفصل الثالث

التحليل النظري لإنتقال الحرارة خلال جدار مستوى
وأسطوانة وكرة

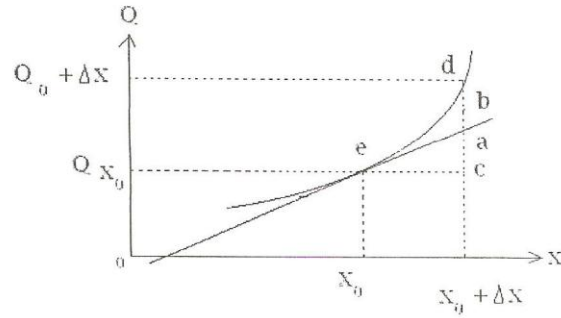
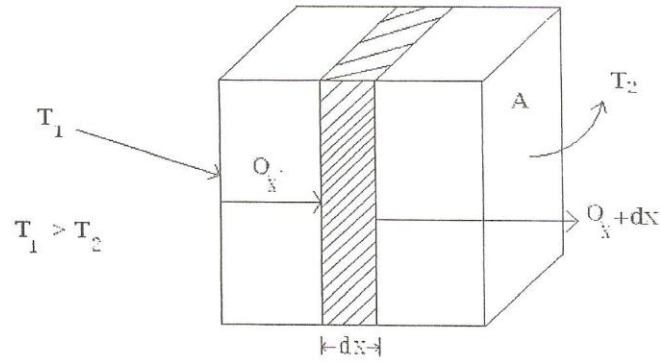
الفصل الثالث

3.0 التحليل النظري لإنتقال الحرارة خلال جدار مستوي وإسطوانه وكرة :-

3.1 إنتقال الحرارة خلال جدار مستوي :

Heat conduction through a plane wall

وفي هذه الحالة نعتبر أن الموصلية الحرارية لمادة الجدار المستوي ثابتة وتتمدد إلى ما لا نهاية في (y,z) ومن المهم جداً إيضاح أن الموصلية الحرارية ثابتة المقدار وأنها ليست دالة في كل من الموقع أو درجة الحرارة . يمكننا القول وإعتبار أن التوصيل الحراري خلال جدار غرفة بعد إهمال الطاقة المفقودة خلال الهواء نموذجاً للجدار المستوي ، في مثل هذه الحالة تكون درجة الحرارة دالة فقط في x وبالتالي يقال أنها أحادية البعد ، ويصبح المتغير الوحيد المستقل هو الموقع "x" في الجدار



يمكن الحصول على المعادلة التفاضلية الحاكمة بعمل ميزان حراري لشريحة حجميه صغيرة من الجدار ذات الشخانة dx ، ومساحة مقطع "A" أفترض أن Q_x هي الحرارة المنتقلة بالتوصيل خلال الشريحة الحجمية $[x-x]$ وإفترض أن $[Q_x+dx]$ هي الحرارة التاركة للشريحة الحجمية عند $[x = x + dx]$ في حالات الإستقرار لا يمكن إعتبار أن درجة الحرارة دالة في الزمن ، لهذا فإن الشريحة الحجمية لن يحدث لها أي تغيير في طاقتها الداخلية . وحيث أن درجة الحرارة متغيرة فقط بالنسبة للمقدار X فرضاً ، فسوف لا يكون هنالك توصيل حراري في الاتجاهات Y, Z [أي أن تدرج الحرارة في هذه الاتجاهات يكون صفراً] من قانون فورير للتوصيل :-

$$Q_x = -KA dT/dx \longrightarrow (3-1)$$

لتحديد قيمة $[Q_x+dx]$ إعتبر تغييراً إختبارياً لقيمة Q بالنسبة للمقدار (x) كما هو موضح في الشكل السابق ، طبق التحليل الآتي للحالة العامة والثلاثية البعد ، سيمكنا الناتج من تحديد قيمة $Q_y + d_y$ ، $Q_z + dz$. يبين الخط المنحني التغير الإختباري بمقدر Q_x لقيم نوعية من z, y, z_0, y_0 لتغيير x حيث رسم الخط (eab) مماساً للخط المنحني عند e . تمثل النقطة e قيمة Q_{x_0} عند x_0 والنقطة d تمثل قيمة (Q_x+dx) عند (x_0+dx) . وحدد قيمة المقدار Q_x عند النقطة A . أولاً يمثل الخط eab الكمية $(d/dx)Q_x$ أو بتعبير آخر فهو يمثل ميل Q_x .

هذا الميل يساوي $ac/\Delta x$ يفيد أن النقطة ac تساوي $[(a/dx)Q_x] (\Delta x)$ وعلي ذلك فإن قيمة Q

عند a تساوي $[Q_{x_0} + (aQ_x/dx) \Delta x]$.

والآن إذا أخذت Δx صغيرة جداً ، إن كل من النقطتين a, d تتحركان في إتجاه e ، وبالتالي تقترب a من d وكذلك في مثل هذه الإجراء أت الحدية تصبح Δx مساوية لـ dx وبناءً على ذلك وبإلغاء الرمز السفلي (0) يمكن كتابة الآتي :

$$Q_x + dx = Q_x + d/dx(Q_x)dx$$

في حالة الجدار المستوي تكون درجة الحرارة (المتغير التابع) هي فقط دالة لمتغير واحد مستقل (x) ، وتصبح المشتقات الجزئية في المعادلة السابقة كالآتي :

$$Q_x = Q_x + dx = Q_x + d/dx(Q_x)dx$$

$$-KA dT/dx = -kA dt/dx + d/dx (-kA dT/dx)dx$$

$$d/dx (kA (dT/dx)dx) = 0 \longrightarrow (3-2)$$

تستخدم هذه المعادلة في حالة الجدار المستوي صغير الموصلية الحرارية

وفي هذه الحالة تكون كل من k, A ثوابت وبما أن dx لا يمكن ان تكون صفراً

$$\frac{d^2 T}{dx^2} = 0 \longrightarrow (*)$$

* المعادلة أعلاه معادلة تفاضلية من الدرجة الثانية والتي تبين ضرورة وجود شروط حدودية لحلها وهي :

$$\begin{aligned} \text{at } x=0 & , T = T_1 \\ x=L & , T = T_2 \end{aligned}$$

بإجراء التكامل للمعادلة (*) نحصل علي

$$dT/dx = C_1$$

حيث $C_1 =$ ثابت التكامل، وإجراء التكامل مرة أخرى

$$T(x) = C_1x + C_2$$

حيث C_2 ثابت آخر للتكامل عند $x = 0$ تكون $T = T_1$ وبذلك تكون $T_1 = C_2$ ونحصل علي درجة الحرارة من المعادلة

$$T(x) = C_1 + T_1$$

يمكن استخدام هذه المعادلة بسهولة لحالة الجدار ذي الموصلية الحرارية المتغيرة ، أيضاً عند $x = L$ تكون $T = T_2$ وعلي هذا فإن

$$T_2 = C_1L + T_1$$

حيث تعطي

$$C_1 = \frac{T_2 - T_1}{L}$$

وبذلك تكون النتيجة :

$$Tx = (T_2 - T_1) x/L + T_1 \longrightarrow (**)$$

وتعتبر المعادلة (**) توزيع درجات الحرارة في الجدار المستوي . وهي توضح لنا إبتاع توزيع درجات الحرارة بمعادلة خطية في (x) . يمكننا تحديد الفيض الحراري خلال جدار مستوي تبعاً لقانون فوريير للتوصيل

$$Q = -KA \, dT/dx$$

$$dT/dx = \frac{T_2 - T_1}{L}$$

$$Q = -\frac{KA (T_2 - T_1)}{L}$$

$$Q = -\frac{KA (T_2 - T_1)}{X}$$

3.2 انتقال الحرارة خلال أسطوانة :-

ولدراسة انتقال الحرارة في أسطوانة نأخذها بقطر داخلي r_1 وخارجي r_2 ، وخذ درجات الحرارة الداخلية والخارجية T_2, T_1 على التوالي . نعتبر إنسياب الحرارة خلال عضو سمكه صغير " r " وخذ معامل الحرارة بالتوصيل (معامل الموصلية الحرارية " K ") ، وبعد ذلك طبقاً للمعادلة السابقة لوحدة طول في إتجاه عمودي :

$$Q = -K A dt/dx = (-K 2 \pi r * l) dt/dr$$

$$Q dr/r = -2 \pi k dt$$

وبالتكامل بين السطح الداخلي والخارجي :

$$Q \int_{r_1}^{r_2} dr / r = -2 \pi k \int_{t_1}^{t_2} dt$$

عند إعتبار Q و k ثابتين

$$Q \log r_2 / r_1 = -2 \pi k (t_2 - t_1) = 2 \pi k (t_1 - t_2)$$

$$Q = \frac{2 \pi \cdot k (t_1 - t_2)}{\log (r_2 / r_1)} \longrightarrow (3-3)$$

$$Q = \frac{k A_m (t_1 - t_2)}{(r_2 - r_1)}$$

إذا من المعادلة (3-1) وهي :

$$Q = \frac{k A}{x} (t_1 - t_2)$$

إذا تم تعويض مساحة متوسطة " A_m " في هذه المعادلة وعوض السمك x يساوي $(r_2 - r_1)$:

$$\therefore A_m = \frac{2 \pi (r_2 - r_1)}{\log (r_2 / r_1)} \longrightarrow (3-4)$$

قارن هذه المعادلة مع المعادلة السابقة :

$$\frac{Am}{(r_2 - r_1)} = \frac{2\pi}{\log(r_2 / r_1)}$$

$$Am = \frac{A_2 - A_1}{\log(r_2 / r_1)} \longrightarrow (3-5)$$

A_m هي المساحة المتوسطة اللوغريتمية .

ويمكن حساب نصف القطر اللوغريتمي المتوسط من المعادلة أدناه:

$$r_m = \frac{r_2 - r_1}{\log(r_2 / r_1)}$$

X وحساب مقاومة الحرارة بالنسبة للسلك

$$R = \frac{x}{kA_m}$$

حيث X سمك الطبقة و A_m المساحة المتوسطة اللوغريتمية لهذه الطبقة

$$\therefore R = \frac{\log r_2 / r_1}{2\pi \cdot k}$$

بالنسبة للطبقة الرقيقة من السائل التي توجد على السطح الداخلي للإسطوانه

$$R = \frac{1}{h_o A}$$

من المعادلة (3-4) :

$$Q = \frac{2\pi \cdot k (t_1 - t_2)}{\log(r_2 / r_1)}$$

عليه ومن هذه المعادلة نأخذ طرفاً مهم هو أنه كلما كانت النسبة r_2 / r_1 صغيرة كلما كان هنالك إنتقال حراري عالي لنفس الفرق في درجات الحرارة وفي حالات كثيرة تميل النسبة ناحية التوحيد مادام السمك

صغير نأخذ متوسط نصف القطر :

$$r_m = \frac{r_2 + r_1}{2}$$

في إنتقال الحرارة نستخدم نصف القطر والمتوسط بدلاً عن اللوغريتمي بنسبة 4% ومن الأحسن استخدام المتوسط عندما r_2/r_1 تكون أقل من 2

3.3 انتقال الحرارة خلال كره :-

خذ كرة مجوفة قطرها الداخلي r_1 والخارجي r_2 وخذ درجة الحرارة للأسطح الخارجية والداخلية

t_1, t_2 ، خذ معامل التوصيلية "K" ، وسمك dr لأي قطر "r" ، ومساحة الكره " $4 \pi r^2$ "

$$Q = -kAdt / dr = -4\pi.r^2.kdt / dr$$

$$Q \int_{r_1}^{r_2} dr / r^2 = 4\pi.k \int_{t_1}^{t_2} dt$$

$$Q \left(\frac{1}{r_2} - \frac{1}{r_1} \right) = -4\pi.k(t_2 - t_1)$$

$$\frac{Q(r_2 - r_1)}{r_1.r_2} = 4\pi.k(t_1 - t_2)$$

$$Q = \frac{4\pi.k.r_1.r_2(t_1 - t_2)}{(r_2 - r_1)} \longrightarrow (3-6)$$

$$R = \frac{(r_2 - r_1)}{4\pi.k.r_1.r_2} \longrightarrow (3-7)$$

معادلة مقاومة الحرارة "المقاومة الحرارية" يتم الحصول عليها بتطبيق التماثل الكهربى :

$$I = V / R$$

وعليه من المعادلة (3-1) :

$$Q = \frac{kA_m}{x}(t_1 - t_2) = \frac{kA_m(t_1 - t_2)}{(r_2 - r_1)}$$

$$\therefore Q = \frac{kA_m(t_1 - t_2)}{(r_1 - r_2)} \longrightarrow (3-8)$$

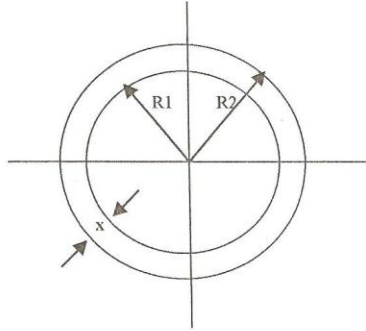
ومن مقارنة المعادلات أعلاه نحصل على المساحة المتوسطة للكرة بالمعادلة التالية :

$$A = 4\pi.r^2$$

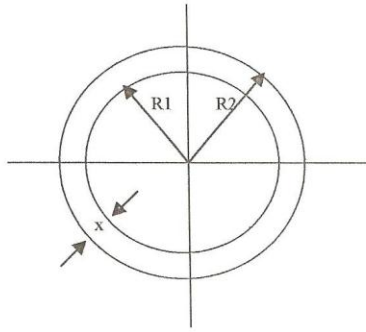
$$A_m = 4\pi.r^2 m$$

$$A_m = 4\pi.r_1.r_2$$

$$r_m = \sqrt{r_1.r_2} \quad \longrightarrow \quad (3-9)$$



شكل (3-2-1) اسطوانة ذات سمك (x)



شكل (3-3-1) كرة جوفاء ذات سمك (x)

3.4 معادلة توزيع درجة الحرارة وانتقال الحرارة في حالة التوصيل أحادي البعد

المستقر في توليد الحرارة :

شريحة مستطيلة : Rectangular Slab

اعتبر حائطا عرضة L ، أحد أوجهه معزول . اجعل درجة حرارة الوجه الحر تكون T_1

واجعل قيمة كل من q و k ثابتة حيث :

$q \equiv$ الحرارة المتولدة لكل وحدة حجم

$k \equiv$ الموصلية الحرارية

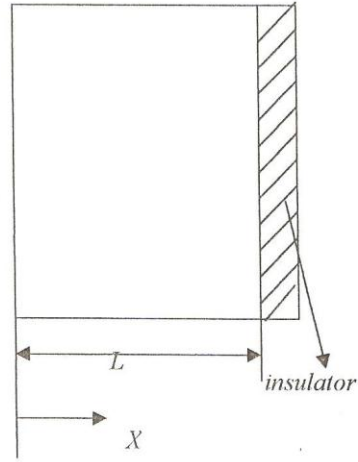
$$\frac{d^2 t}{dx^2} + \frac{q}{k} = 0 \longrightarrow (3-10)$$

بالتكامل

$$\frac{dt}{dx} + \frac{qx}{k} = c_1 \longrightarrow (3-11)$$

بالتكامل مره أخرى

$$t(x) + \frac{qx^2}{2k} = c_1 x + c_2 \longrightarrow (3-12)$$



[B.Conditions] : الشروط الحدودية :

للحصول على قيم C_2, C_1

عند $x = 0$ ، $t(x) = T_1$

بالتعويض في المعادلة (3-12)

$$T_1 + 0 = 0 + C_2$$

$$\therefore c_2 = T_1$$

من المعادلة (3-11)

عند $x = L$ ، $dt/dx = 0$

$$C_1 = \frac{qL}{k}$$

بالتعويض في المعادلة (3-12)

$$T(x) + \frac{qx^2}{2k} = \frac{qLx}{K} + T_1$$

$$T(x) - T_1 = \frac{qLx}{k} - \frac{qx^2}{2k}$$

$$T(x) - T_1 = \frac{qLx}{k} \left[1 - \frac{x}{2L} \right]$$

$$T(x) = T_1 + \frac{qLx}{k} \left[1 - \frac{x}{2L} \right]$$

أقصى درجة حرارة تحدث عند ما $X = L$

$$T(\max) = T_1 + \frac{qL^2}{2k}$$

(Infinite Long Cylinder) : اسطوانة غير محدودة الطول :

$$\frac{d}{dr} \left(r \frac{dt}{dr} \right) + \frac{q}{k} = 0$$

أضرب في r و اجري التكامل

$$\frac{d}{dr} \left(r^2 \frac{dt}{dr} \right) + \frac{qr}{k} = 0$$

$$r^2 \frac{dt}{dr} + \frac{qr^2}{2k} = c_1$$

اقسم المعادلة على r^2 و اجري التكامل

$$t(r) + \frac{qr^2}{4k} = C_1 \ln r + C_2$$

الشروط الحدودية (B.Conds)

عند $r=0$ لا يكون هناك انتقال حراري (خط التماثل الذي يعمل كعازل)

$$dt/dr = 0$$

$$\therefore C_1 = 0$$

$$t(r) = t_w$$

عند $r = r_0$

$$t_w + \frac{qr_0^2}{4k} = C_2$$

$$\therefore C_2 = t_w + \frac{qr_0^2}{4k}$$

$$t(r) + \frac{qr^2}{4k} = t_w + \frac{qr_0^2}{4k}$$

$$t(r) = t_w + \frac{qr_0^2}{4k} - \frac{qr^2}{4k}$$

$$t(r) = t_w + \frac{qr_0^2}{4k} \left[1 - \left(\frac{r}{r_0} \right)^2 \right]$$

درجة الحرارة القصوى t_{\max} تحدث عند $r = 0$

$$t_{(\max)} = t_w + \frac{qr_0^2}{4k}$$

معدل انتقال الحرارة يمكن حسابه من القانون فوريير

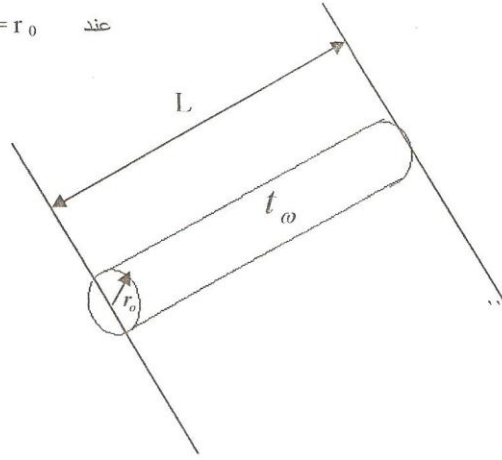
$$q = -kA \frac{dt}{dr}$$

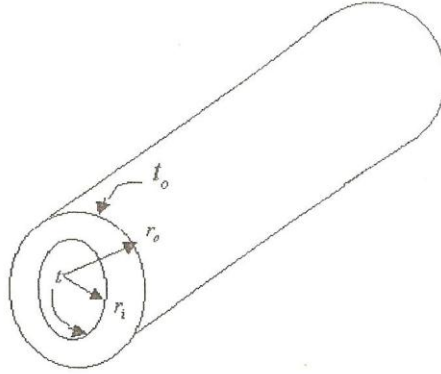
اعتبر سلكاً مجوفاً : (Consider a hollow wire)

الشروط الحدودية : (B.c.onds)

$$t = t_i \quad , \quad r = r_i \quad \text{عند}$$

$$t = t_o \quad , \quad r = r_o \quad \text{عند}$$





$$t - t_o = \frac{q}{4k}(r_o^2 + r^2) + C_1 \ln \frac{r}{r_o}$$

تطبيق الشروط الحدودية نحصل على :

$$C_1 = \frac{(t_i - t_o) + q \frac{(r_i^2 - r_o^2)}{4k}}{\ln \left(\frac{r_i}{r_o} \right)}$$

الفصل الرابع
التصميم و التصنيع

الفصل الرابع

4.0 تصميم وتصنيع الأواني التي تجرى عليها الاختبارات

4.1 التصميم :

وقد كان لابد من تصميم ثلاثة أواني وهي مسطيتلي المقطع واسطوانة ونصف كره لأجراء الاختبارات عليها وان تكون ذات سعة حجميه ثابتة وتكون مصنوعة من معدن واحد وبما ان دراستنا تقتصر على قياس ومعرفة مدى توزيع درجات الحرارة في اتجاه نصف قطري فقد تم التصميم على أساس نصف القطر .

نصف الكره :

بفرض نصف قطر مناسب للكره = 35Cm

وبالرجوع لقانون حجم الكره الذي ينص على ان :

$$V = \frac{4}{3} \pi r^3 \longrightarrow (4-1)$$

حيث ان :-

$V \equiv$ الحجم

$r \equiv$ نصف القطر

وبتعويض نصف القطر الذي تم فرضه في المعادلة أعلاه نحصل على الحجم المطلوب

$$r = \frac{D}{2}$$

$$\therefore r = 17.5Cm$$

وبما ان الشكل عبارة عن نصف كره إذاً نقسم الحجم على (2)

$$V = \frac{V}{2} = 11224.6$$

الشكل الأسطواني :-

وبما ان السعة الحجميه ثابتة في الاواني الثلاث كما سبق ذكره وبالرجوع إلى قانون الحجم بالنسبة للأسطوانة فان :-

$$V = \pi r^2 l \longrightarrow (4-2)$$

حيث أن:

$$V \equiv \text{حجم الأسطوانة}$$

$$r \equiv \text{نصف قطر الاسطوانة}$$

$$L \equiv \text{طول الاسطوانة}$$

وبفرض طول مناسب للأسطوانة تقريباً يساوى 17Cm وبتعويض ذلك الطول في معادلة الحجم بالنسبة للأسطوانة في المعادلة (4-2) يمكن الحصول على نصف قطر الاسطوانة

$$11224.6 = \pi r^2 * 17$$

$$\therefore r = \sqrt{\frac{11224.6}{\pi * 17}}$$

$$r = 14.5\text{Cm}$$

وبذلك يكون قطر الاسطوانة يساوى 29 Cm

المستطيلي المقطع :-

وكما ذكر انفاً ان السعه الحجميه ثابتة ومن معادلة الحجم بالنسبة للمستطيلي المقطع (المكعب) والذي

ينص على أن :-

$$V = l^3$$

حيث ان :-

$$V \equiv \text{الحجم بالنسبة للوعاء المستطيلي المقطع}$$

$$L \equiv \text{طول الضلع}$$

$$11224.6 = l^3$$

$$\sqrt[3]{11224.6} = l$$

$$\therefore l = 22.4 \text{ Cm}$$

4.2 التصنيع :-

نسبة لان انتقال الحرارة يتناسب عكساً مع ثخانة الجدار لذلك اخترنا ان تكون الأوعية المصنعة ذات سماكة رقيقة ووجدنا انه من المناسب ان يكون السمك حوالي 2mm .

تم اختيار الألمنيوم لعمل الأوعية لانه ذو موصلية حرارية عالية وسهل التشكيل والتشطيب ، واتجهنا لعمل القطع بواسطة السباكة حيث تعتبر الأفضل للتصنيع لأنها تعطي كتله واحده متماثلة الشكل ، ولكن وجدنا من الصعب أن يتم التشكيل بالسباكة لان السمك المطلوب صغير جداً لعدم سهولة انسياب المعدن المنصهر داخل القالب .

وقع الاختيار على معدن (التوتيا) ، والمستخدم في خزانات المبردات المائية ووجدنا انه المناسب لتشكيل الأوعية لان له خاصية جيدة إذ لا يسمح بتسريب كميات كبيره من الحرارة من داخل الإناء إلى خارجه ، ويحافظ على كمية الحرارة الداخلية ، مما يقينا عن استخدام العوازل مثل الصوف الحراري وغيره .

تم التصنيع بواسطة التشكيل اليدوي ، و ذلك بعد رسم يوضح الإقراد لكل إناء على حدا لمعفرة أبعاد القطع المطلوبة ليتم تصنيعها . كما قمنا باستخدام نوع من اللحام البارد يعرف باسم لحام (الأردايت) وذلك لمنع تسريب الماء خارج الوعاء .

الفصل الخامس
الاختبارات والنتائج

الفصل الخامس

5.0 الاختبارات والنتائج

5.1 مقدمه عن السخان والثيرمومتر :-

السخان والتمدد في السوائل :

يعتبر السخان الكهربائي طريقه مناسبة للحصول على الطاقة الحرارية في هذه الحالة تتحول الطاقة الكهربائية إلى طاقة حرارية فإذا وصلنا سخان قدرته 1Kw بمصدر كهربائي جهده 240V فان ذلك يعنى ان 1000J من الطاقة الكهربائية تستهلك في الثانية الواحد وهذه الطاقة تتحول إلى طاقة حرارية . فإذا أعطينا هذه الطاقة إلى مادة فلاحظ ان درجة حرارتها سوف ترتفع إلا انه يحدث تغير حاله ، ولكن نجد الارتفاع في درجة الحرارة يتناسب طردياً مع الطاقة الممتصه ويكون ذلك مرتبط بمعدل كتله ثابتة . لكن نجد انه إذا تم تسخين كتلة 1Kg لكي ترتفع درجة حرارته 10C° فإننا سوف نحتاج الى كمية طاقه كبيره جداً وتكون ضعفي الطاقة المستخدمة في رفع درجة حرارة نفس الكتلة 1C° . السعة الحرارية هي الطاقة اللازمة لرفع درجة حرارة مادة كتلتها 1Kg درجة مئوية واحده ، فان لها تأثير مباشر على ارتفاع الحرارة فزيادتها نحتاج إلى طاقه حرارية اكبر وهذا ما يفسر ان الماء يحتاج الى كمية كبيره من الطاقة حتى ترتفع درجة حرارته 1C° (السعة الحرارية للماء حوالي $4200/\text{degc}$). عند تسخين السوائل وارتفاع درجة الحرارة يحدث تمدد وذلك ما يفسر بناء نظرية الثيرمومتر على نظرية السوائل ومثلاً إذا ملأت قنينة بماء لدرجة حرارة عالية وأرتفعت الحرارة نلاحظ ان الماء يتدفق ، مع ذلك إذا كانت عند 0C° وقمنا برفع الحرارة قليلاً نجد ان الماء سينكمش لينزل في فراغات الفوهة ، عموماً عند رفع درجة الماء من 0C° إلى 4C° فانه يحدث انكماش للماء أما فوق هذه الدرجة فانه يتمدد كلما زادت درجة الحرارة ويشابه السوائل الأخرى . الغازات ايضاً تتمدد وهذا ما يفسر ارتفاع الهواء الساخن إلى أعلى عكس البارد لانه أعلى كثافة ويكتسب الهواء الملامس لسطح الإناء الحرارة عن طريق ذرات الماء المتبخر من داخل الإناء وبالتالي تزيد حرارته ويرتفع إلى أعلى ويحل محله الهواء البارد . في انتقال الحرارة خلال الماء والذي يسمى الانتقال بالحمل فنجد ان الماء القريب من السخان أعلى درجة حرارة ، حيث ان الماء يتمدد بالحرارة وكثافته تقل ويتحرك الماء الساخن لأعلى وبالتالي ترتفع الحرارة وتعتمد في توزيعها على حركة الماء الساخن ونسبة لوضع السخان في الوسط يتم الانتقال الحراري في أسرع وقت إلى أجزاء الإناء الأخرى بطريقة إشعاعية . نجد انه عند تسجيل الثيرمومتر لدرجة حرارة الماء عند التحول من سائل إلى بخار سنجد إنها تظل سابته أثناء التحول وفي تلك الظروف التي يغلي فيها الماء في كاس مفتوحة بالمعمل سنجد ان درجة الغليان

عموماً تساوى 100°C عند الضغط الجوي القياسي عند مستوى سطح البحر وهي نقطة لمعايرة الترمومتر .

التيرمومتر :-

هنالك عدة أنواع من التيرمومترات التي تستخدم في قياس درجة الحرارة منها التيرمومترات المانومتريه والزئبقية والاحيره هي اكثر الأنواع شيوعاً ودقتها 0.25 درجة مئوية وعند قياس درجة الحرارة يجب ان يوضع في تلامس جيد مع السائل أي بغمز البصيلة التي تحوى الزئبق في الماء أو في السائل المراد قياس حرارته حتى يتم التمدد في الزئبق .

5.2 الاختبارات :-

تم إجراء الاختبارات في الاواني التي ورد ذكر تصميمها في الفصل الرابع بحجم ثابت وكما ذكرنا ان انتقال الحرارة تم في اتجاه نصف قطري . قمنا بوضع سخان داخلي مربوط بحامل في منتصف الإناء وقمنا بملئ الإناء بماء عند درجة حرارة 23°C . تم تقسيم أنصاف الأقطار إلى ثلاث مسافات متساوية (أي تم تقسيم القياس في أربعة نقاط) وبما أن الحرارة تنتقل في اتجاه نصف قطري وجد ان هنالك تماثل في اتجاه الأقطار الأربعة .

تم تثبيت الأربعة تيرمومترات ، حسب المسافات السابق ذكرها على نصف القطر ابتداءً من مركز الإناء بعد ذلك اخترنا تدرج زمني ورصدنا قراءة الأربعة تيرمومترات المختلفة في تدرج زمني 100 ثانية ثم قمنا بإعادة التسخين لكل أناء على حدي وقمنا برصد درجات الحرارة لكل التيرمومترات .

5.3 النتائج والمقارنة :-

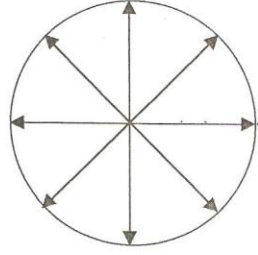
لإيجاد طريقة للمقارنة يمكن ملاحظة أن نتائج القراءات في الأسطوانة متقاربة بعض الشيء أكثر منها في نصف الكرة والمستطيل المقطع ولكن لا تعطي فرقاً واضحاً أو إختلاف كبير في درجة الحرارة بين الثلاثة أوعية المستخدمة في الإختبار .

بعد تسجيل النتائج " القراءات " ورصدها وتحليلها نظرياً بطريقة المقارنة بين درجات الحرارة وإختلافها من وعاء لآخر .

كان لا بد من وجود طريقة عملية لإجراء مقارنة ، ولكن من خلال النظر لتلك الدرجات نجد أنها أعلى في الوسط من الأطراف في كل الأوعية ويعزي ذلك لوجود السخان في الوسط ونجد أن درجة حرارة الماء ترتفع إلى 81°C وبعد هذه الدرجة تكون الحرارة متساوية في كل الإناء وبالتالي تتساوى في كل النقاط المأخوذة في نصف القطر ، و تكون الزيادة واحدة في كل النقاط أو يكون الفرق ضئيلاً جداً بحيث لا يمكن ملاحظته عن طريق أجهزة القياس المستخدمة.

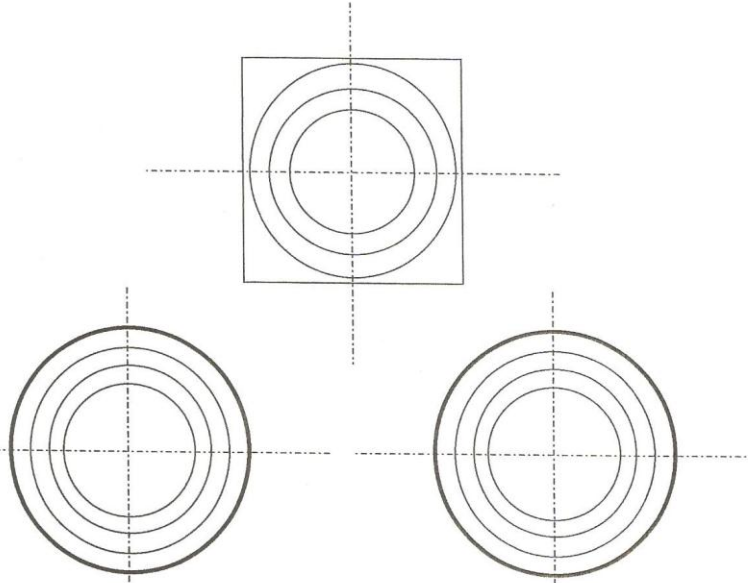
إذا تم رسم دوائر مركزها في الوسط وتمرر أو تمس نقاط التقسيم وعند أخذ القراءات في عدة إتجاهات وجد أن التماثل في توزيع درجات الحرارة في النقاط الأربعة إذا أخذت علي أي نصف قطر وذلك لان إنتقال الحرارة وكما هو معلوم يتم في إتجاهات إشعاعية نصف قطرية أنظر الشكل (2-2-5) .

وذلك عند رسم دائرة تمر بنقطة فإنها تمر بالثلاثة نقاط المماثلة لها علي أنصاف الأقطار



شكل (5-2-2) يوضح طريقة انتقال الحرارة

وبعد عمل تلك الدوائر نجد أنها أكثر إنتظاماً في الأسطواني أنظر الشكل (5-2-3) ، مما يبين إن التوزيع الحراري المنتظم يتم فيها بصورة أفضل من الكروي والمستطيل المقطع .



شكل (5-2-3) يوضح التوزيع الحراري في الاوعية

بناءً على ذلك تم رسم علاقات بيانية تعطي عدداً من المخططات ، وقد تم بناءها بعدة أسس منها مثلاً (درجة الحرارة والزمن) أو (درجة الحرارة والمسافة) ، فدرجة الحرارة والزمن والمسافة تمثل الأعمدة الأساسية لمعرفة الفرق في درجات الحرارة توزيعها وإتجاهها علي السطح في كل وعاء ، والجدول التالي يوضح بعض الدوال المستخدمة في المخططات البيانية ، و طرق لدراسة التوزيع الحراري في كل وعاء بعد مقارنتها مع بعضها .

X	Y
dT/dx	X
dT/t	X
dt	X

حيث أن :-

$dT \equiv$ الفرق في درجات الحرارة بين T_1 وأي نقطة أخرى علي نصف القطر

$x \equiv$ المسافة بين T_1 وأي نقطة من النقاط الثلاثة الأخرى .

$t \equiv$ التدرج الزمني

و استخدمت هذه المعطيات في رسم مخططات توضح العلاقة بينها فأعطت إختلاف بعض الشيء بالنسبة لدرجات الحرارة والإحداثيات التي رسمت بها . ومن تقييم العلاقة بين المخططات المرسومة حسب الجدول أعلاه نجد أن أفضلها في المقارنة هي تلك التي رسمت بدلالة dT مع x (أنظر الملحق C) .

لاستنباط طريقة للمخططات تم أخذ منحنى واحد من كل شكل ووضحت عليه الإحداثيات (y, x) الأساسية ، ووجد أن التدرج للنقاط علي المحور dT بالنسبة للأسطوانة يكون أفضل إذا تم مقارنته مع الكروي والمستطيلي . (أي أن الفرق في درجات الحرارة الناتج بعد أخذ نقاط عشوائية معلومة البعد وبعد توصيلها بخطوط رأسية مع المنحنى ثم أفقياً حتى نحصل علي قيمة dT) ، ونلاحظ أن الفرق في درجات الحرارة بين النقاط المقترحة والأساسية يكون متقارباً في الأسطوانة أكثر من غيرها وذلك لإنتظام مقطع الأسطوانة نسبة لتساوي مساحة السطح بالنسبة للوجه والقاعدة .

مما ذكر عاليه وكما هو واضح في الملحق C في المخططات C-1-3 و C-2-3 و C-3-3 للمستطيل ونصف الكره والأسطوانة علي الترتيب نجد ان ميل الخط المستقيم للعلاقة بين dT و x يكون أكثر انحداراً في حالت المستطيل مما يشير لتفاوتات كبيره في درجات الحرارة بين أي نقطة والتي تليها في مستوى الشكل المستطيل . ويكون ميل الخط المستقيم اقل انحداراً في حالة المقطع الكروي واقل بكثير في حالة الشكل الأسطواني مما يبنى بان الشكل الأسطواني هو الشكل الهندسي الأفضل لتوزيع الحرارة بانتظام تقريباً في المستوى الأفقي لها مما يبرر استخدامه في أوني الطهي والمبادلات الحرارية وغيرها من الأجهزة .

بناءً على ذلك تم رسم علاقات بيانية تعطي عدداً من المخططات ، وقد تم بناءها بعدة أسس منها مثلاً (درجة الحرارة والزمن) أو (درجة الحرارة والمسافة) ، فدرجة الحرارة والزمن والمسافة تمثل الأعمدة الأساسية لمعرفة الفرق في درجات الحرارة توزيعها وإتجاهها على السطح في كل وعاء، والجدول التالي يوضح بعض الدوال المستخدمة في المخططات البيانية ، و طرق لدراسة التوزيع الحراري في كل وعاء بعد مقارنتها مع بعضها .

X	Y
dT/dx	X
dT/t	X
dt	X

حيث أن :-

$dT \equiv$ الفرق في درجات الحرارة بين T_1 وأي نقطة أخرى على نصف القطر

$x \equiv$ المسافة بين T_1 وأي نقطة من النقاط الثلاثة الأخرى .

$t \equiv$ التدرج الزمني

و استخدمت هذه المعطيات في رسم مخططات توضح العلاقة بينها فأعطت إختلاف بعض الشيء بالنسبة لدرجات الحرارة والإحداثيات التي رسمت بها . ومن تقييم العلاقة بين المخططات المرسومة حسب الجدول أعلاه نجد أن أفضلها في المقارنة هي تلك التي رسمت بدلالة dT مع x (أنظر الملحق C) .

لاستنباط طريقة للمخططات تم أخذ منحنى واحد من كل شكل ووضحت عليه الإحداثيات (y, x) الأساسية ، ووجد أن التدرج للنقاط على المحور dT بالنسبة للأسطوانة يكون أفضل إذا تم مقارنته مع الكروي والمستطيلي . (أي أن الفرق في درجات الحرارة الناتج بعد أخذ نقاط عشوائية معلومة البعد وبعد توصيلها بخطوط رأسية مع المنحنى ثم أفقياً حتى نحصل على قيمة dT) ، ونلاحظ أن الفرق في درجات الحرارة بين النقاط المقترحة والأسطوانة يكون متقارباً في الأسطوانة أكثر من غيرها وذلك لإنتظام مقطع الأسطوانة نسبة لتساوي مساحة السطح بالنسبة للوجه والقاعدة .

مما ذكر عاليه وكما هو واضح في الملحق C في المخططات C-1-3 و C-2-3 و C-3-3 للمستطيل ونصف الكره والأسطوانة على الترتيب نجد ان ميل الخط المستقيم للعلاقة بين dT و x يكون أكثر انحداراً في حالت المستطيل مما يشير لتفاوتات كبيره في درجات الحرارة بين اي نقطة والتي تليها في مستوى الشكل المستطيل . ويكون ميل الخط المستقيم اقل انحداراً في حالة المقطع الكروي واقل بكثير في حالة الشكل الأسطواني مما يبنى بان الشكل الأسطواني هو الشكل الهندسي الأفضل لتوزيع الحرارة بانتظام تقريباً في المستوى الأفقي لها مما يبرر استخدامه في أوني الطهي والمبادلات الحرارية وغيرها من الأجهزة .

الفصل السادس

الخاتمة والتوصيات

الفصل السادس

6.0 الخاتمة والتوصيات

6.1 الخاتمة :

تم في هذا البحث التوصل إلي عمل دراسة مختبريه لتوزيع درجات الحرارة على شكل كروي وأسطوانى و مستطيلى المقطع .
أثناء هذه التجارب تم التعرف على كيفية الحصول على توزيع درجات الحرارة في عدة طرق للتسخين وتم استخدام سخان كهربى ليكون التسخين من الداخل حتى يعطى توزيع افضل لدرجات الحرارة ، ويتم الاستفادة من هذه التجربة في إختيار الشكل الأمثل لتصنيع الأواني المستخدمة في الطهي و الغلايات وغيرها من الأشياء المرتبطة بعمل الحرارة .

المراجع:

Applied Thermo dynamic-1
By T. D. E Astop - A. MC. Conkey
Long man , Scinetific , and Technical
HEAT TRNNSFER -2

تأليف:

بهاالشاندرا. في. كادليكار ، روبرت . م . دزموند

ترجمة :

أ. د أحمد صابر احمد فهمي ، أ . م . د مصطفى محمد مصطفى سويدان ، أ . م . د ماجد إبراهيم نجم

مراجعة :

أ. م . د محسن سالم رضوان .

3- العلوم الفيزيائية للفنيين

تأليف : و . بولتون

ترجمة : الدكتور : سعيد الجريري

مراجعة : الدكتور : أحمد فؤاد باشا

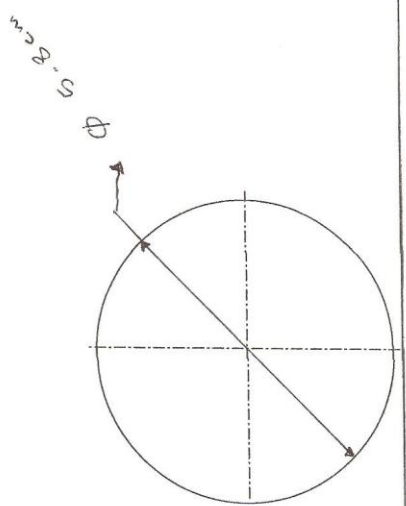
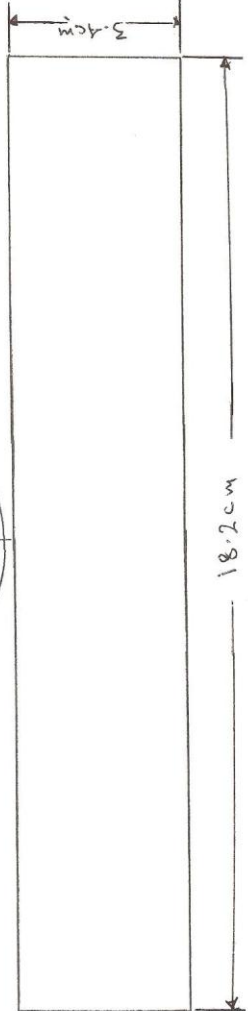
4- القياسات الحرارية (اجهزة - تطبيقات)

تأليف : دكتور مهندس : رمضان احمد محمود

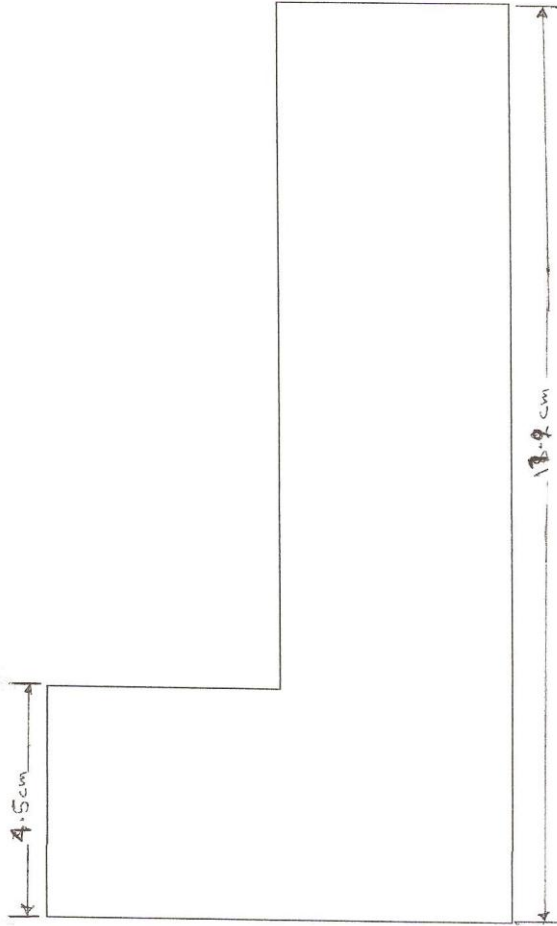
الملاحق

A - ملحق

المكعب الإسطواني



Scale 1:5



الشكك المستطيل المقطع

Scale 1:5

ملحق .B

T4	T3	T2	T1	الزمن
25	26.5	27	28	100
27.5	28.5	30	31	200
30	31.5	23	33.5	300
31.5	32.5	33.5	35	400
34	36	37.5	38	500
38.5	39	40	41.5	600
42	43	44	45	700
45.5	47	48	49	800
51.5	52.5	54	55	900
53	54	55	57	1000
55	56	57.5	58.5	1100
58	59	61	62.5	1200
61.5	62	64.5	65	1300
64	65	68	68.5	1400
66.5	67.5	68.5	69.5	1500
68.5	69.5	70.5	72	1600
70.5	71.5	73	74	1700
73.5	75	75.5	77	1800
75.5	77.5	78	79	1900
78	79	80.5	80.5	2000
78.5	79.5	81	81	2100
79.5	80.5	81	81	2200
80	80.5	81	81	2300
80.5	81	81	81.5	2400
81	81	81.5	81.5	2500

جدول (1-1) :

تسجيل قراءات درجات الحرارة في الإناء المستطيلي المقطع

T1 في المركز

T2 تبعد مسافة 3.73 Cm من المركز

T3 تبعد مسافة 7.46 Cm من المركز

T4 تبعد مسافة 11.2 Cm من المركز

dt/dx	dt/dx	dt/dx	الزمن
0.134	0.101	0.134	100
0.156	0.167	0.134	200
0.134	0.134	0.134	300
0.156	0.167	0.201	400
0.201	0.201	0.201	500
0.134	0.167	0.201	600
0.134	0.134	0.201	700
0.156	0.134	0.134	800
0.156	0.167	0.134	900
0.179	0.201	0.134	1000
0.156	0.167	0.134	1100
0.201	0.234	0.201	1200
0.156	0.201	0.0669	1300
0.201	0.234	0.0669	1400
0.134	0.134	0.134	1500
0.167	0.167	0.201	1600
0.156	0.234	0.134	1700
0.156	0.134	0.201	1800
0.156	0.101	0.134	1900
0.112	0.134	0.134	2000
0.0669	0.101	0.0669	2100
0.0669	0.034	0	2200
0.045	0.034	0	2300
0.045	0	0.039	2400
0.0223	0	0	2500

جدول (1-2) :

dt/dx بالنسبة للأناء المستطيلي المقطع

dT/t	dT/t	dT/t	الزمن
0.03	0.015	0.01	100
0.035	0.015	0.01	200
0.035	0.02	0.015	300
0.035	0.025	0.015	400
0.04	0.02	0.005	500
0.03	0.025	0.015	600
0.03	0.02	0.01	700
0.035	0.025	0.01	800
0.034	0.03	0.01	900
0.04	0.025	0.02	1000
0.035	0.025	0.01	1100
0.045	0.035	0.015	1200
0.035	0.03	0.005	1300
0.045	0.025	0.005	1400
0.03	0.02	0.01	1500
0.035	0.025	0.015	1600
0.035	0.025	0.01	1700
0.035	0.025	0.015	1800
0.035	0.015	0.01	1900
0.025	0.015	0.01	2000
0.025	0.015	0.005	2100
0.015	0.005	0	2200
0.01	0.005	0	2300
0.01	0	0.005	2400
0.005	0	0.005	2500

جدول (1-3) :

بالنسبة للإناء المستطيلي المقطع

dT	dT	dT	الزمن
3	1.5	1	100
3.5	2.5	1	200
3.5	2	1.5	300
3.5	2.5	1.5	400
4	2	0.5	500
3	2	1.5	600
3	2.5	1	700
3.5	3	1	800
3.5	2.5	1	900
3	3	2	1000
3.5	2.5	1	1100
4.5	3.5	1.5	1200
3.5	3	0.5	1300
4.5	3.5	0.5	1400
3	2	1	1500
3.5	2.5	1.5	1600
3.5	2.5	1	1700
3.5	2	1.5	1800
3.5	1.5	1	1900
2.5	1.5	1	2000
2.5	1.5	0.5	2100
1.5	0.5	0	2200
1	0.5	0	2300
1	0.5	0.5	2400
0.5	0.5	0	2500

جدول (1-4) :

dT بالنسبة للثناء المستطيلي المقطع

T4	T3	T2	T1	الزمن
28	28.5	29	30	100
31.5	33.5	33	34	200
35.5	36.5	37	39	300
39	39.5	40	41.5	400
41.5	42.5	43	46	500
43	44	45.5	47.5	600
45	46	47.5	51	700
47.5	49.5	50	53	800
50	52.5	53	55.5	900
52.5	54	55	57	1000
55	56	57	59.5	1100
57	58	58.5	61.5	1200
58	59	60.5	64	1300
60	62	62.5	65	1400
61	63	64	67.5	1500
63	64.5	65	69.5	1600
64	65.5	66	71.5	1700
65	66.5	67.5	73.5	1800
67	69	70	75	1900
69.5	72	73	76	2000
71	73.5	75.5	77	2100
73	75	77	78.5	2200
75	76	78	79	2300
76	77	78.5	80	2400
76.5	78	79	80.5	2500

جدول (2-1) :

تسجيل قراءات درجات الحرارة في الإناء الأسطواني

T1 في المركز

T2 تبعد مسافة 4.83 Cm من المركز .

T3 تبعد مسافة 9.66 Cm من المركز .

T4 تبعد مسافة 14.5 Cm من المركز .

dt/dx	dt/dx	dt/dx	الزمن
0.1379	0.1552	0.2070	100
0.1724	0.2587	0.2070	200
0.2413	0.2587	0.4140	300
0.1724	0.2070	0.3105	400
0.3103	0.3623	0.6211	500
0.3103	0.3623	0.4140	600
0.4137	0.5175	0.7246	700
0.3103	0.2587	0.4140	800
0.3103	0.3105	0.5175	900
0.3793	0.3105	0.4140	1000
0.3103	0.3623	0.5175	1100
0.3103	0.3623	0.6211	1200
0.4137	0.1575	0.7246	1300
0.3448	0.2585	0.5175	1400
0.4482	0.4658	0.7246	1500
0.4482	0.5172	0.9316	1600
0.5172	0.6211	1.1387	1700
0.5862	0.7246	1.12422	1800
0.5517	0.6211	1.0351	1900
0.4482	0.4140	0.6211	2000
0.4137	0.3623	0.3105	2100
0.3793	0.3623	0.3015	2200
0.2758	0.3105	0.2070	2300
0.2758	0.3105	0.3105	2400
0.2068	0.2587	0.3105	2500

جدول (2-2) :

dt/dx بالنسبة للإناء الأسطواني

dT/t	dT/t	dT/t	الزمن
0.020	0.015	0.01	100
0.025	0.005	0.01	200
0.035	0.025	0.02	300
0.025	0.02	0.015	400
0.045	0.035	0.03	500
0.045	0.035	0.02	600
0.060	0.05	0.035	700
0.045	0.025	0.02	800
0.045	0.03	0.025	900
0.055	0.03	0.02	1000
0.045	0.03	0.025	1100
0.045	0.035	0.03	1200
0.060	0.05	0.035	1300
0.050	0.03	0.025	1400
0.065	0.045	0.035	1500
0.065	0.05	0.045	1600
0.075	0.06	0.055	1700
0.085	0.07	0.06	1800
0.080	0.06	0.05	1900
0.065	0.04	0.03	2000
0.060	0.035	0.015	2100
0.055	0.035	0.015	2200
0.040	0.030	0.01	2300
0.040	0.030	0.015	2400
0.040	0.025	0.015	2500

جدول (2-3) :

dT/t بالنسبة للناء الاسطواني

dT	dT	dT	الزمن
2	1.5	1	100
2.5	0.5	1	200
3.5	2.5	2	300
2.5	2	1.5	400
4.5	3.5	3	500
4.5	3.5	2.5	600
6	5	3.5	700
4.5	2.5	2	800
5.5	3	2.5	900
4.5	3	2	1000
4.5	3.5	2.5	1100
4.5	3.5	3	1200
6	5	3.5	1300
5	3	2.5	1400
6.5	4.5	3.5	1500
6.5	5	4.5	1600
7.5	6	5.5	1700
8.5	7.5	6	1800
8	6	5	1900
6.5	4	3	2000
6	3.5	1.5	2100
5.5	3.5	1.5	2200
4	3	1	2300
4	3	1.5	2400
4	2.5	1.5	2500

جدول (2-4) :

dT بالنسبة للإناء الأسطواني

T4	T3	T2	T1	الزمن
27	28.5	28	30	100
29	32	33	35	200
30.5	34	36	38	300
32.5	36	38	40	400
34	37.5	39	42.5	500
36	39	41	45	600
39	41	45.5	47	700
41	45.5	48	49	800
45.5	47	46	51	900
48	49	50	52.5	1000
50	51	52	54	1100
52.5	53.5	54	56	1200
53	54.5	56	58	1300
53.5	55.5	57	59	1400
55	56.5	58.5	60	1500
56.5	58	59	62	1600
58	59.5	61	63.5	1700
59.5	60.5	62	64	1800
60.5	61.5	63	64.5	1900
62	62.5	64	65	2000
62.5	63	64.5	66.5	2100
63	63.5	65	68	2200
64	64.5	66.5	69	2300
65	66	68	70	2400
66.5	68	69.5	73	2500

جدول (3-1) :

تسجيل قراءات درجات الحرارة في الإناء الكروي

T1 في المركز •

T2 تبعد مسافة 5.83 Cm من المركز

T3 تبعد مسافة 11.66 Cm من المركز

T4 تبعد مسافة 17.5 Cm من المركز

dt/dx	dt/dx	dt/dx	الزمن
0.1714	0.1286	0.3431	100
0.3429	0.2573	0.3431	200
0.3286	0.3431	0.3431	300
0.4286	0.3431	0.3431	400
0.4857	0.5146	0.3431	500
0.5143	0.5146	0.6003	600
0.4571	0.5146	0.6861	700
0.4571	0.3002	0.2573	800
0.3143	0.3431	0.1715	900
0.2571	0.3002	0.8576	1000
0.2286	0.2573	0.4288	1100
0.2000	0.2144	0.3431	1200
0.2857	0.3002	0.3431	1300
0.3143	0.3002	0.3431	1400
0.2857	0.3002	0.3431	1500
0.3143	0.3431	0.2573	1600
0.3143	0.3431	0.5146	1700
0.2571	0.3002	0.4288	1800
0.2286	0.3431	0.3431	1900
0.1714	0.2144	0.2573	2000
0.2286	0.3002	0.1715	2100
0.2857	0.3859	0.3431	2200
0.2857	0.3859	0.5146	2300
0.2857	0.3431	0.4288	2400
0.3714	0.4288	0.3431	2500

جدول (1-2) :

القيمة dt/dx بالنسبة للقاء الكروي

dT/t	dT/t	dT/t	الزمن
0.03	0.015	0.02	100
0.06	0.03	0.02	200
0.075	0.04	0.02	300
0.075	0.04	0.02	400
0.085	0.05	0.035	500
0.09	0.06	0.04	600
0.08	0.06	0.015	700
0.08	0.035	0.01	800
0.055	0.04	0.05	900
0.045	0.035	0.025	1000
0.04	0.03	0.02	1100
0.035	0.025	0.02	1200
0.05	0.035	0.02	1300
0.055	0.035	0.02	1400
0.05	0.035	0.015	1500
0.055	0.04	0.03	1600
0.055	0.04	0.025	1700
0.045	0.035	0.02	1800
0.04	0.03	0.015	1900
0.03	0.025	0.01	2000
0.04	0.035	0.02	2100
0.05	0.045	0.03	2200
0.05	0.045	0.025	2300
0.05	0.04	0.02	2400
0.056	0.05	0.035	2500

جدول (3-3) :

د/ت بالنسبة للإناء الكروي

dT	dT	dT	الزمن
3	1.5	2	100
6	3	2	200
7.5	4	2	300
7.5	4	2	400
8.5	5	3.5	500
9	6	4	600
8	6	1.5	700
8	3.5	1	800
5.5	4	5	900
4.5	3.5	2.5	1000
4	3	2	1100
3.5	2.5	2	1200
5	3.5	2	1300
5.5	3.5	2	1400
5	3.5	1.5	1500
5.5	4	3	1600
5.5	4	2.5	1700
4.5	3.5	2	1800
4	3	1.5	1900
3	2.5	1	2000
4	3.5	2	2100
5	4.5	3	2200
5	4.5	2.5	2300
5	4	2	2400
6.5	5	3.5	2500

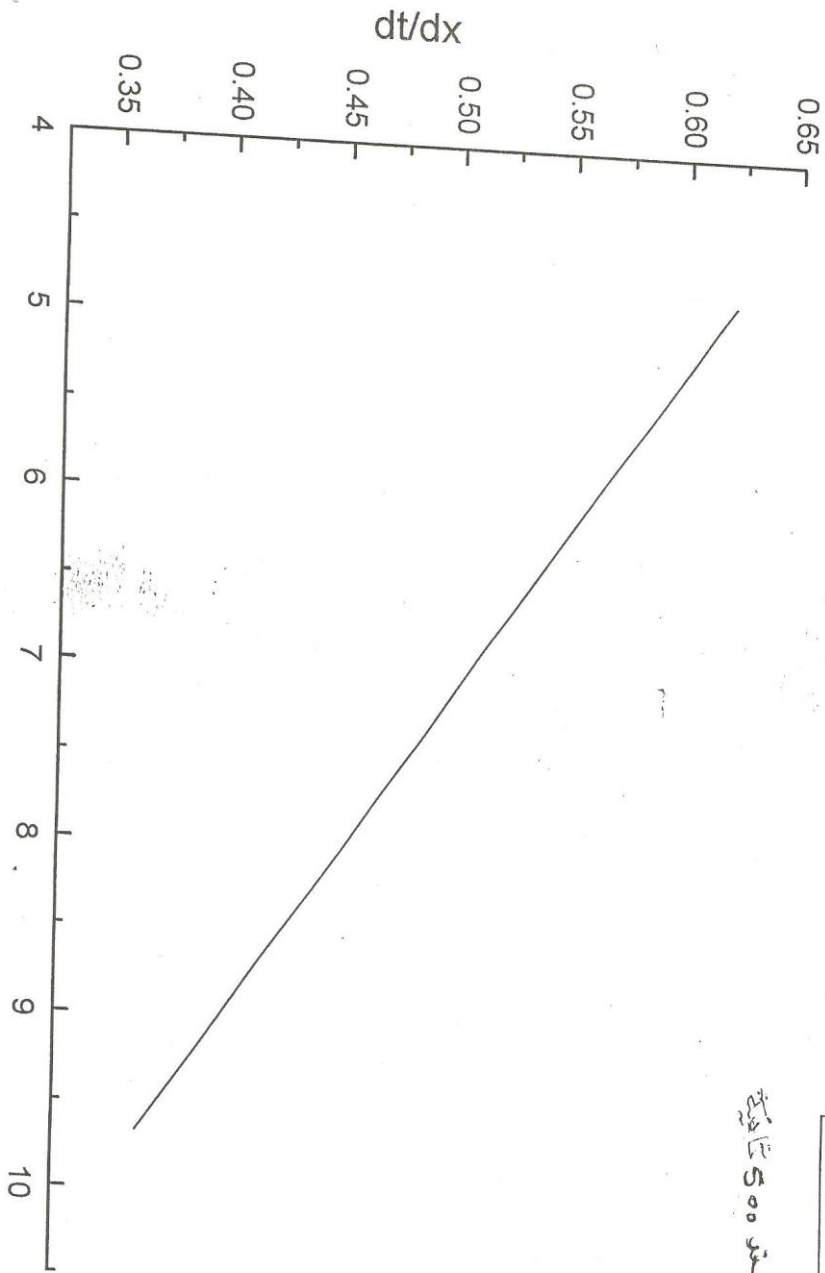
جدول (3-4) :

dT بالنسب للإناء الكروي

ملحق - C

B

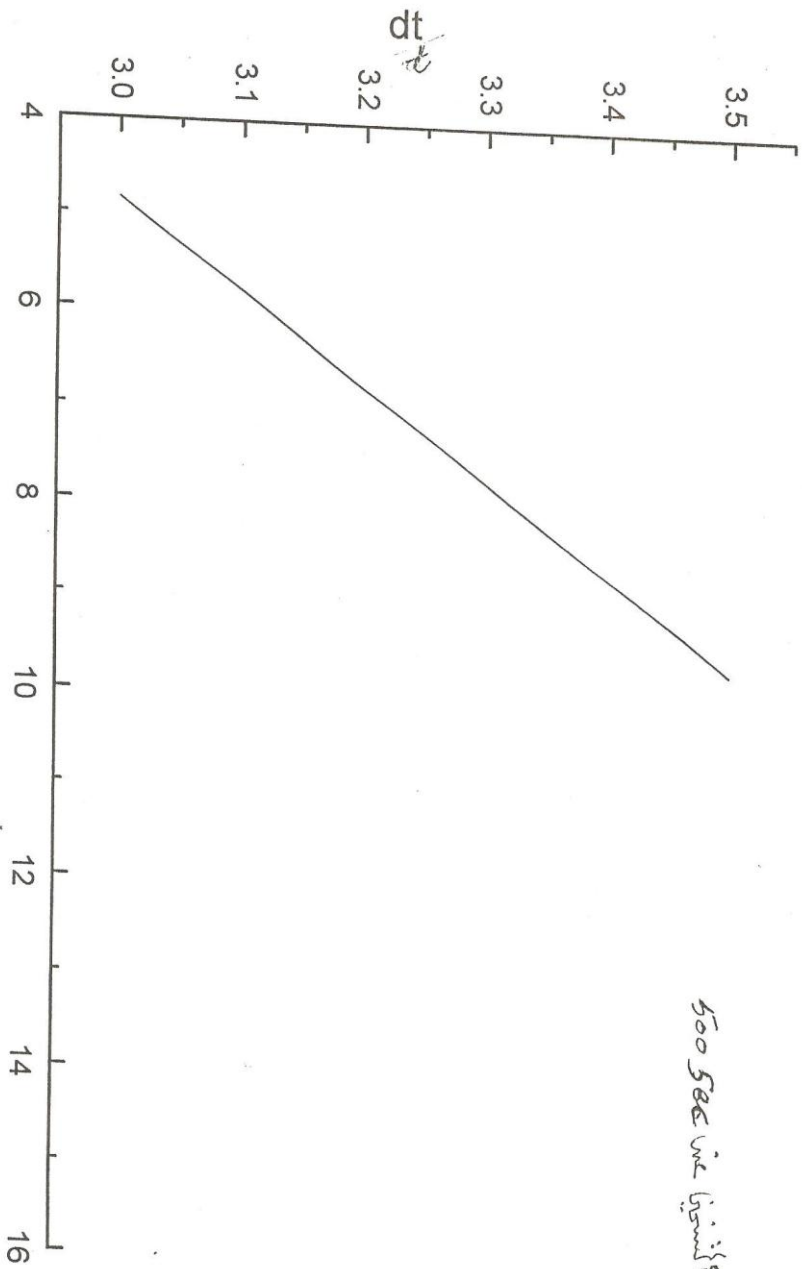
الذخيرة 500 تاجيك



المستطلي : شكل (1-1) ليوضح العلاقة بين المنتج و الحرارة والتناسبية للساحة كصفاء القطر

B

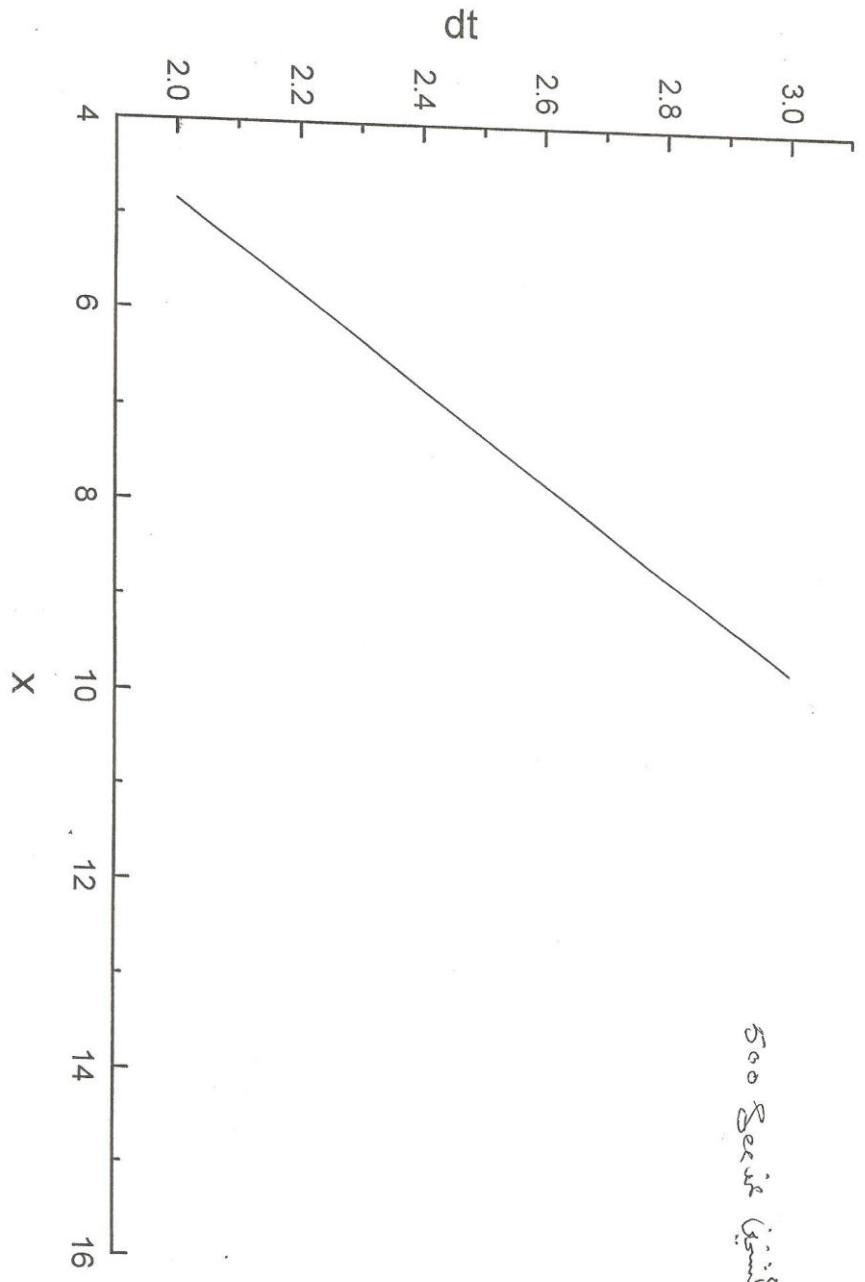
500 gae in initial



البيانات في الجدول التالي
تدرجها في المخطط
الذي يوضح العلاقة بين
الزمن بالثانية للفاقة
والضغط

B

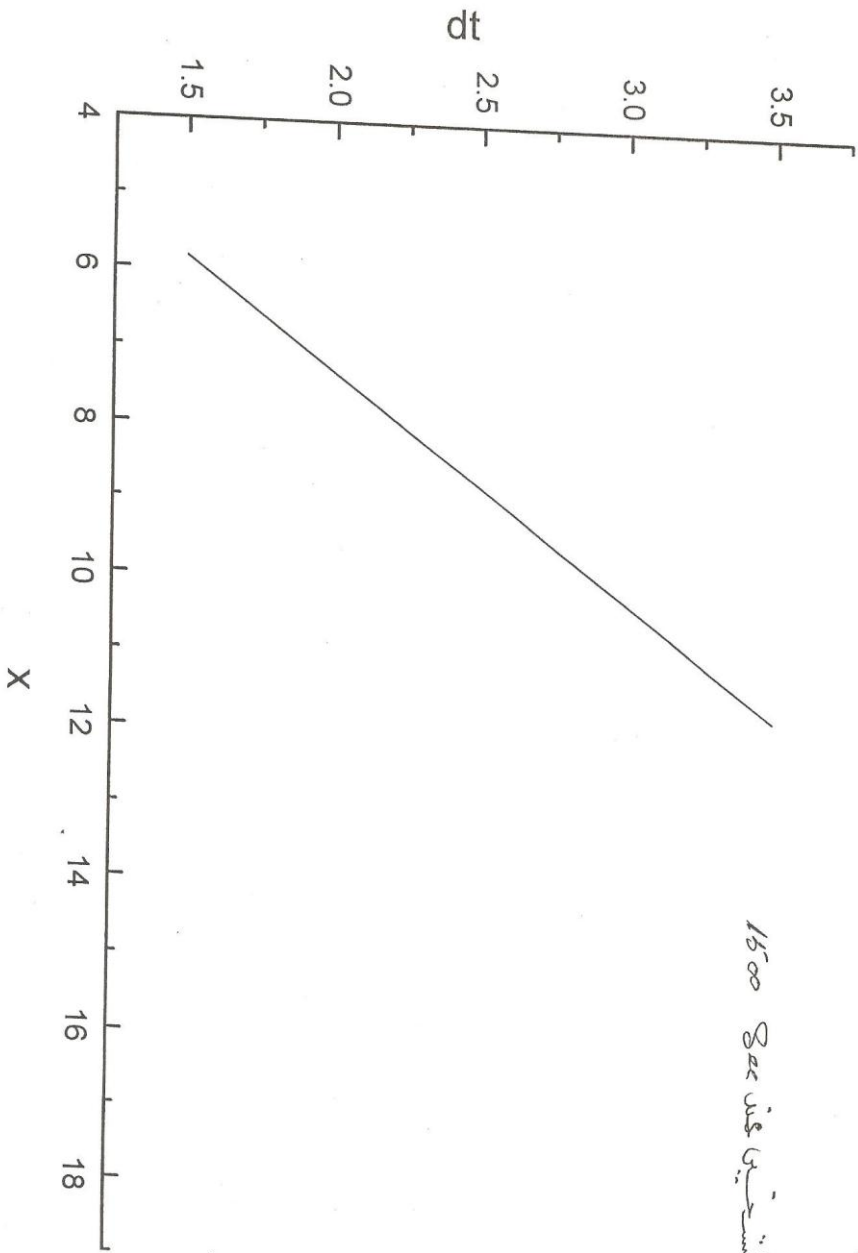
500 Series (initial)



سلسلة (3-1-c) يوتج ادمكرونة بيتة الموقد حوصية الحرارة النسبية للمساحة نصحة المطريرة

B

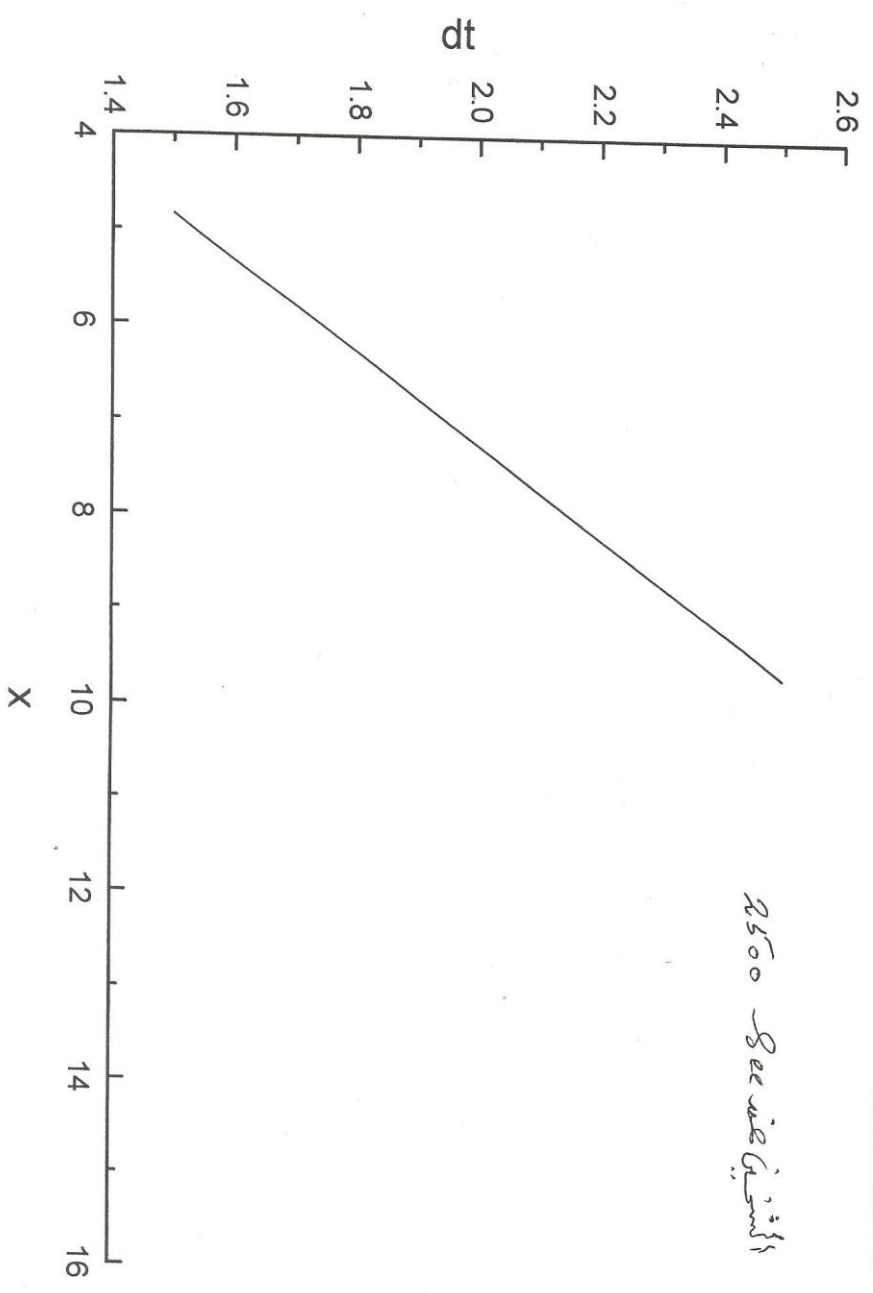
1500 Bar عند 1500



بشكل (4-1-1) يوضح المخطط في الشكل 4-1-1 العلاقة بين درجة الحرارة بالنسبة للمسامير تحت الظروف

B

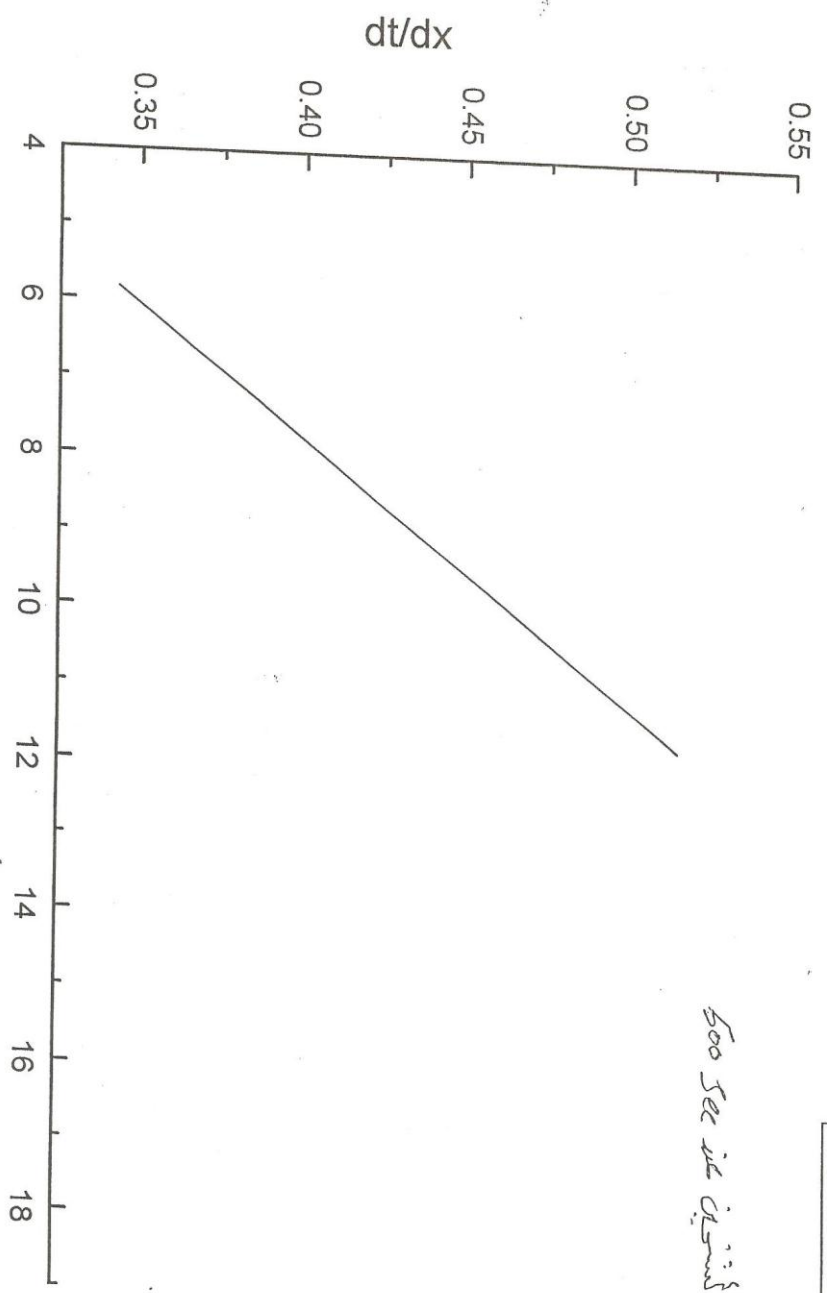
2500 درجة سيلسيوس



شكل (5-1) يوضح العلاقة بين الممتد الزمني في درجة الحرارة والسيولة لصلبة الجص المصفر

B

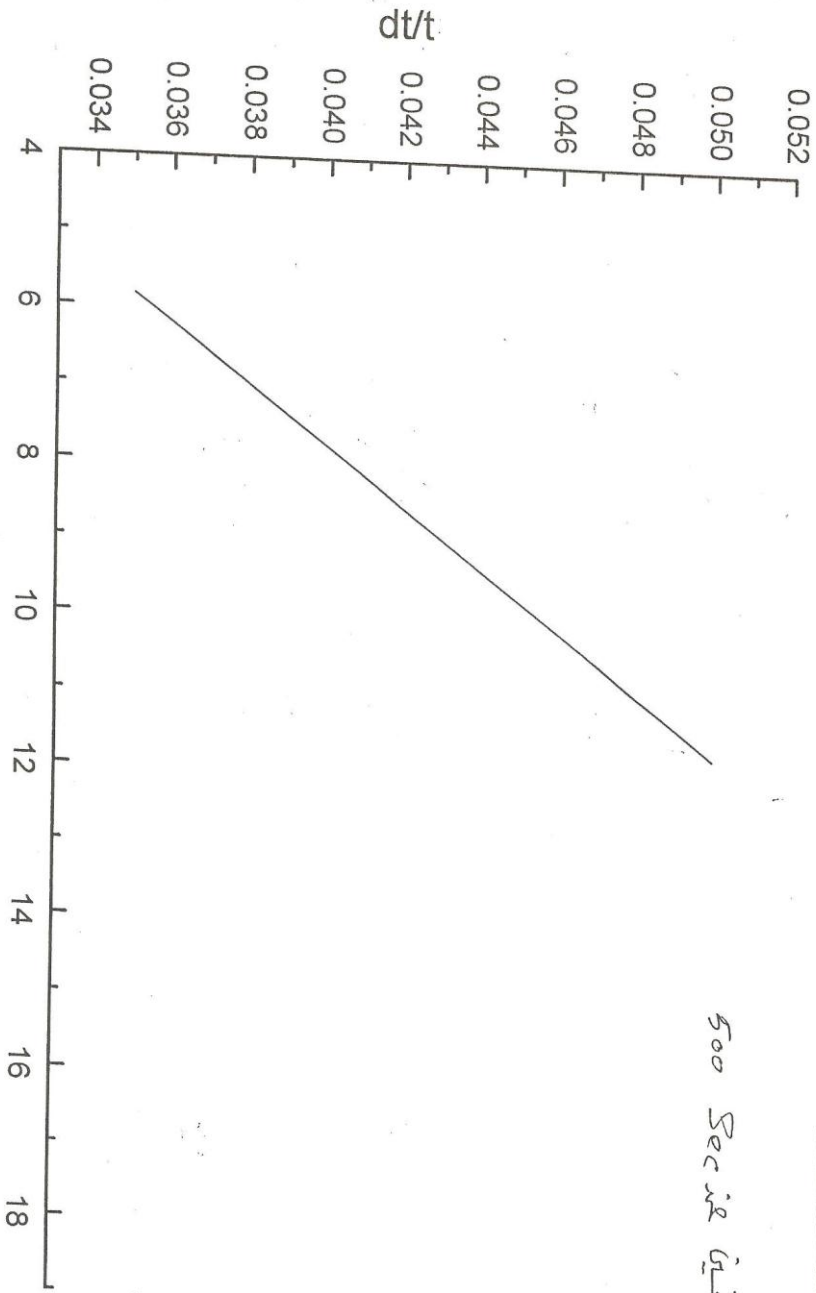
500 Sec in c/s



لتحليل القدرة = شكل (2-1) في صيغة المطروحة بين المنتج في الحرارة بالدرجة لدرجة وقت التحليل

B

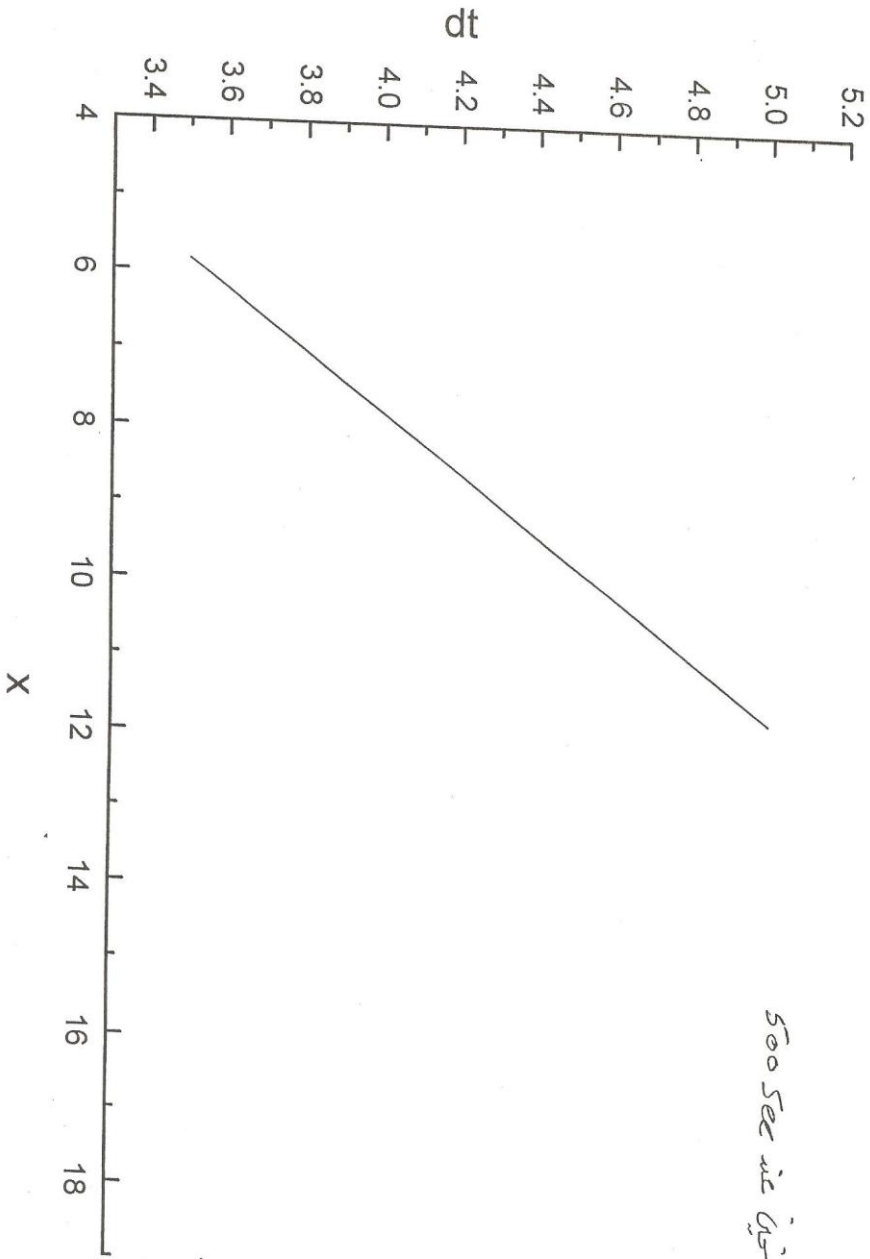
الكسيتي هـ 500



بيانات (2-2) يوضح العلاقة بين الترف في الكبار مع الزمن بالنسبة للمسافة كمنسوب الخطية

B

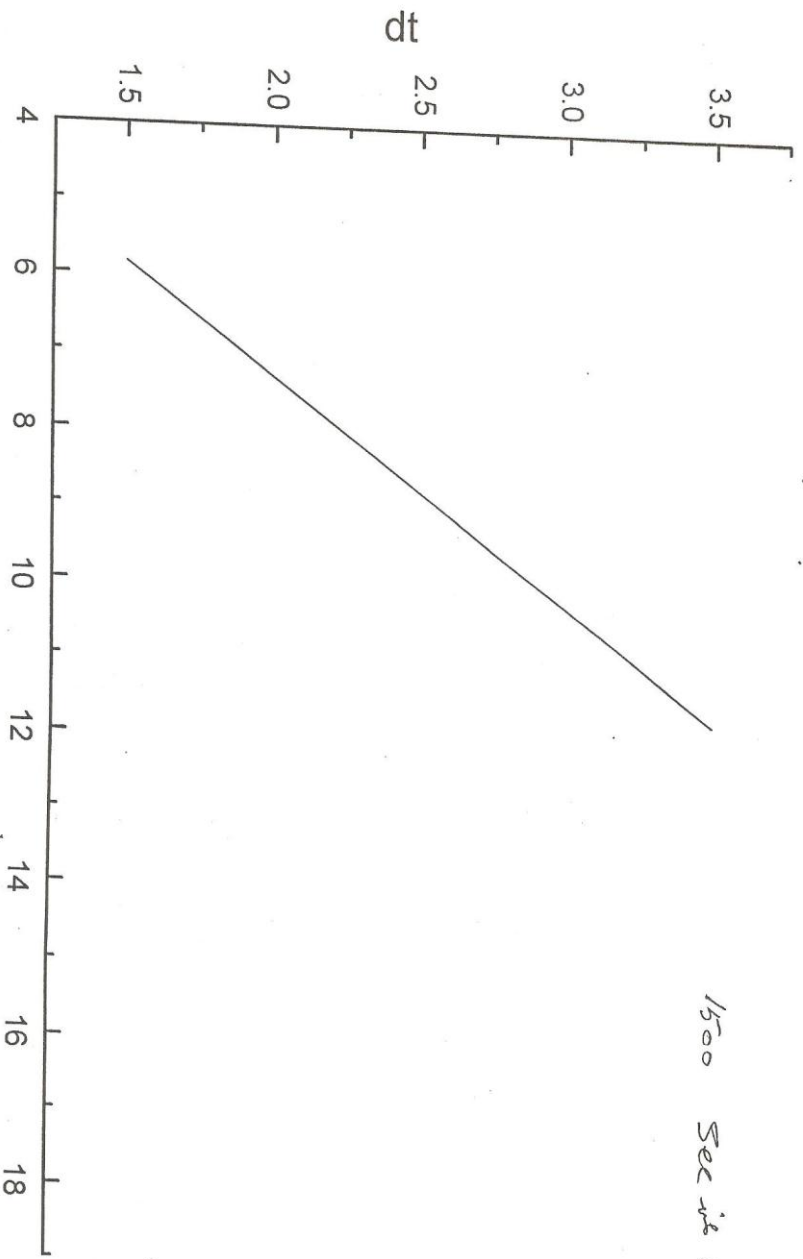
500 Sec in distance



شكل بيض 3-2-C العلاقات بين الترقح درجة الحرارة جالسيه للمسافه نصف القطره

B

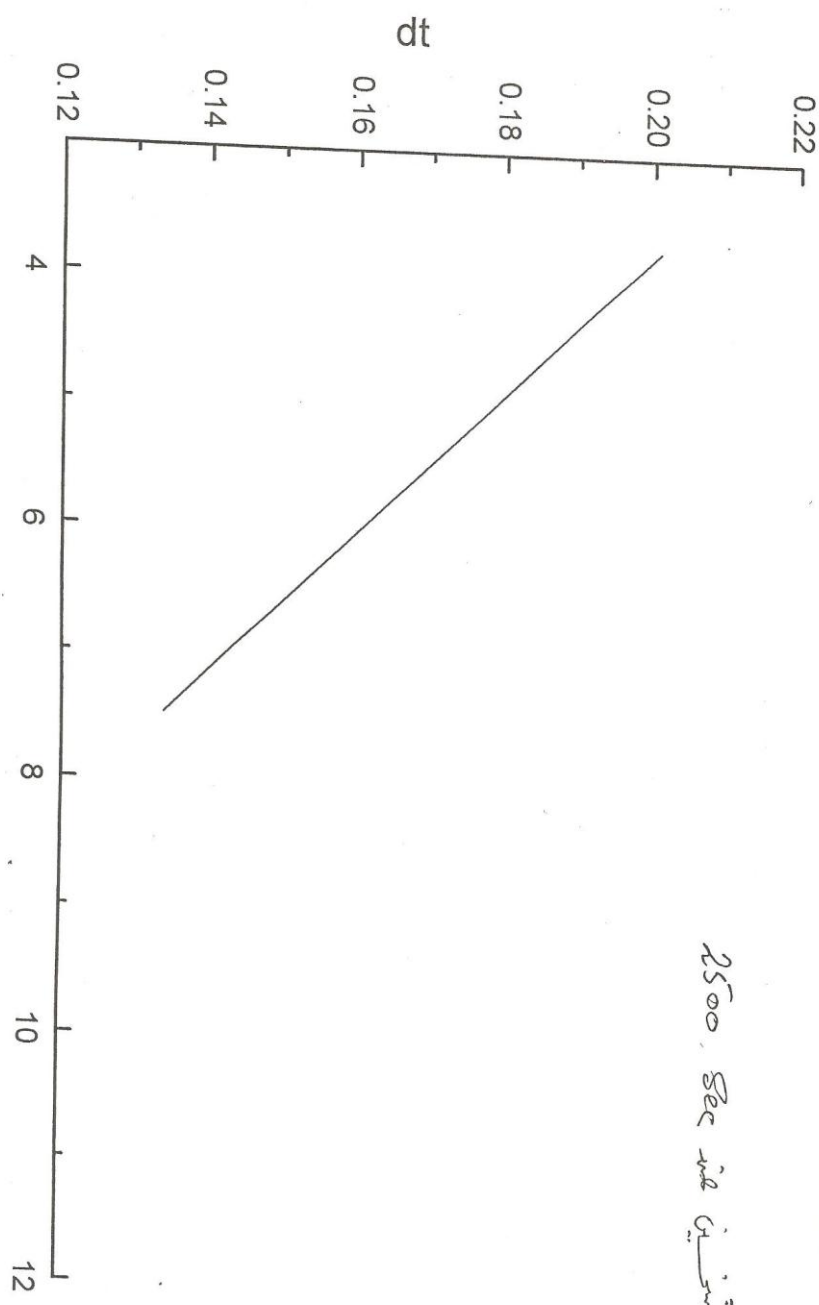
1500 Sec من الزمن



شكل 4-2-4، يوضح الطراف بين الفرق في درجة الحرارة جانباً للمسافة التي يقطعها

B

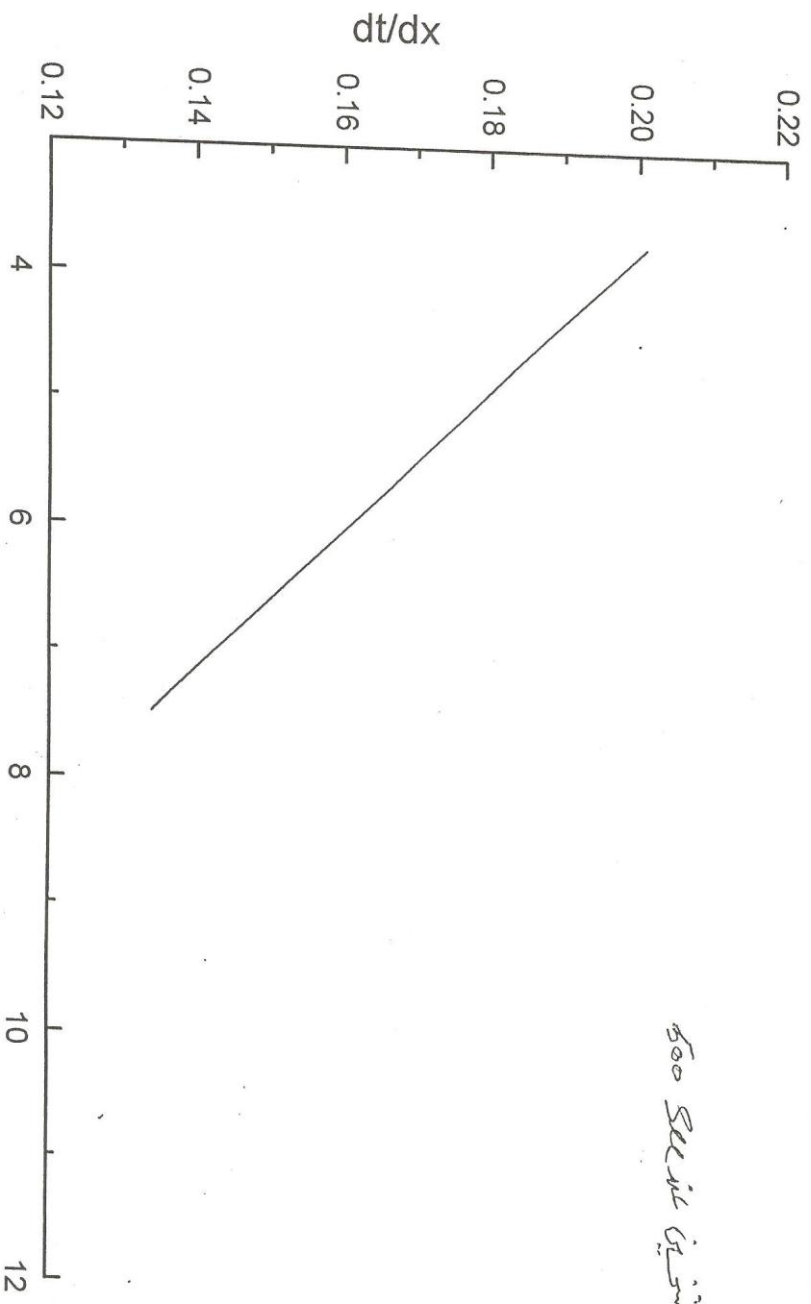
2500 Sec in 2500



شكل "5-2-3" يوضح العلاقة بين الفرق في درجة الحرارة بالدرجة المئوية وبين الفرق في

B

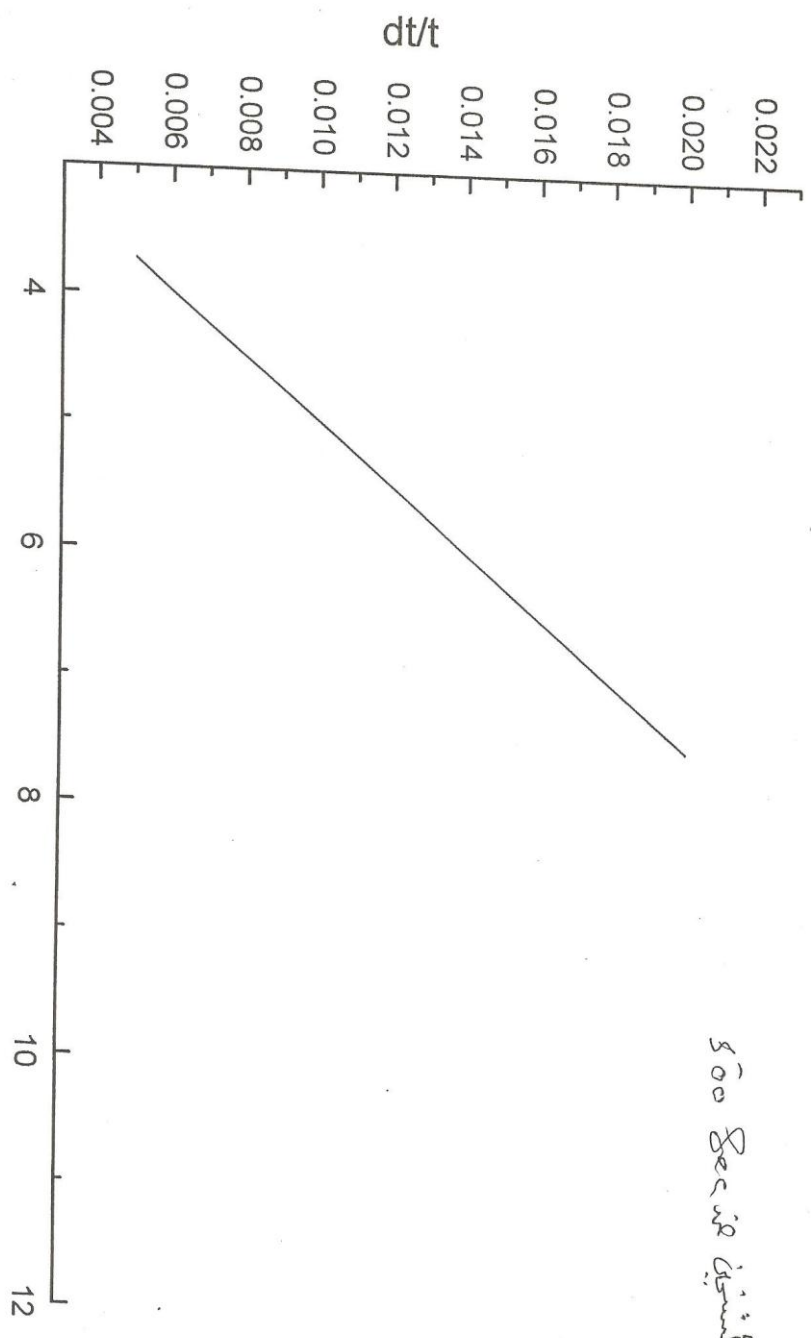
500 سعديت في الثانية



البيانات مستقيمة، شكلها «1-3-ع» مع العلم ان الفرق بين الطرفين هو 4 سعديت في الثانية

B

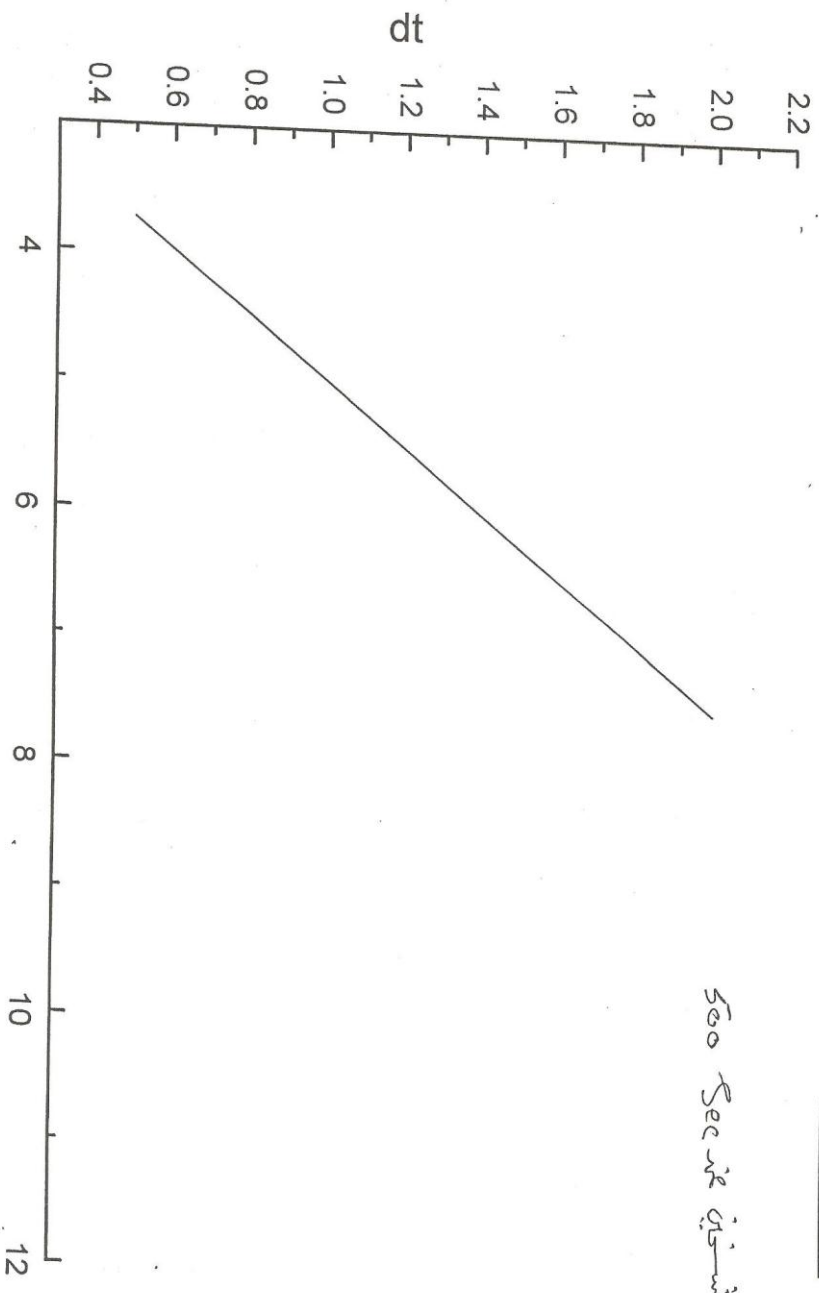
500 Sec in dist



شکل "2-3-ع" عرض اطراف هسته ایضاً در اندازه معیاری مع الرسم بالنسبه للمساحة المستطانية فقط

B

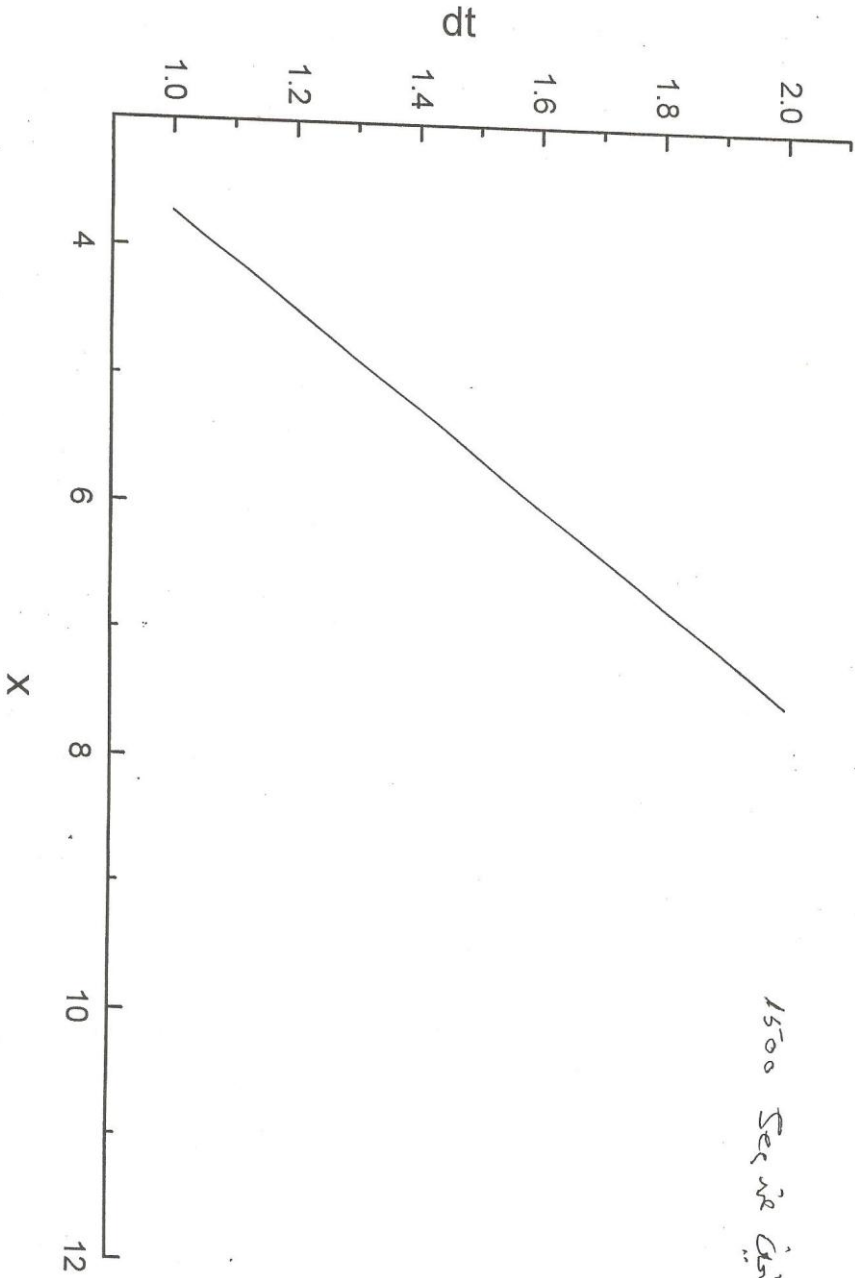
المستخرج من Sec 50



شكل 3-5-10: نموذج العلاقات بين المتغيرات المستقلة والمتبعية في دراسة العلاقة بين

B

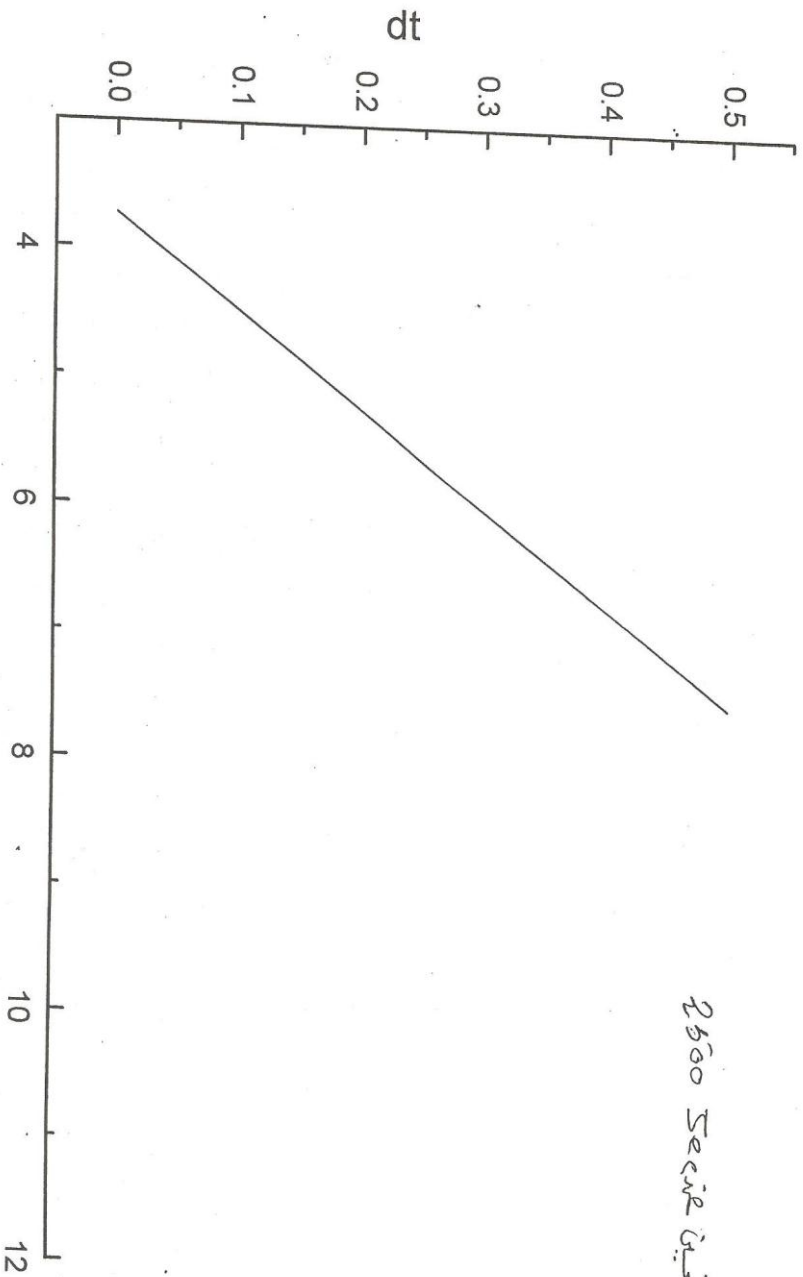
1500 Sec m² / km²



تساوي المسافة لضعف السرعة
الخطية بالسرعة
المساوية لضعف المسافة
المساوية لضعف السرعة

B

الكتيبي Serie 2500



تكم "5-3-ع" وضع اطراف مين انق ح حرج، ولاج بانسيه سلسه ح حرج